



Jiná ověření:

Paré:

Orientační schéma:





Razítko oprávněné osoby:


Podpis:

Datum:

Revize:	Datum:	Popis:	Kontroloval:
001	25.05.2022	Dokumentace po připomínkách	Ing. Jan Šedivý

Stavebník/Investor:	Správa železnic, státní organizace	 SPRÁVA ŽELEZNIC
Adresa:	Dlážděná 1003/7, 110 00 Praha 1	
Zástupce investora:	Stavební správa východ	
Adresa:	Nerudova 1, 779 00 Olomouc	

Zhotovitel díla:	EXprojekt s.r.o.	
Adresa:	Heršpická 758/13, 619 00 Brno	
Kontakt:	T: +420 533 312 000 E: info@exprojekt.cz	

Zhotovitel objektu:	EXprojekt s.r.o.	
Adresa:	Heršpická 758/13, 619 00 Brno	
Kontakt:	T: +420 533 312 000 E: info@exprojekt.cz	

Hlavní projektant (HIP): Ing. David Rose Ing. Ivana Havlíková; Ph.D.	Specialista: Ing. Martin Chaloupka
--	------------------------------------

Název stavby/akce:	Rekonstrukce mostu v km 42,794 trati Havlíčkův Brod - Pardubice	Označení investora: S621700174
		Označení zhotovitele: 2021-087
Název části:	Mosty, propustky a zdi	Označení části: D.2.1.04
Název objektu/dílní části:	Most v km 42,794	Označení objektu/komplexu: SO 01
Název přílohy:	Statický výpočet spodní stavby	Číslo přílohy: 3. 002
Název dílní části přílohy:		
Odpovědný projektant: Ing. Petr Šedivý	Zpracovatel přílohy: Ing. Petr Šedivý	Měřítko: - Formáty:
Kraj: Pardubický	Katastrální území: Holetín [641138]	TUDU: 1611 10
		Stupeň dokumentace: DSP
		Smluvní datum zpracování: 25.5.2022

Kódové označení přílohy:
S621700174_DSPX_D2141_SO01_XX_3_002_001

STAVBA: **Rekonstrukce mostu v km 42,794 trati Havlíčkův Brod -
Pardubice**

OBJEKT: **SO 01 Most v km 42,794**

STUPEŇ: **DSP**

Statický výpočet spodní stavby

Obsah:

1	TECHNICKÁ ZPRÁVA STATICKÉHO VÝPOČTU	4
1.1	Popis spodní stavby mostního objektu	4
1.1.1	Základy	4
1.1.2	Opěry (dřík, úložný práh, závěrná zídka)	4
1.1.3	Zavěšená křídla	4
1.1.4	Římsy	4
1.1.5	Materiály konstrukčních celků	4
1.2	Popis statického výpočtu	4
1.2.1	Zatížení spodní stavby	5
1.2.2	Prvky počítané a posuzované ve statickém výpočtu	5
2	POUŽITÉ PODKLADY, LITERATURA A SOFTWARE	5
3	TVAR SPODNÍ STAVBY	6
4	ZÁKLAD A DŘÍK OPĚR	7
4.1	Předpoklady pro návrh a posouzení	7
4.2	Zatížení	7
4.3	Dimenzování	10
4.3.1	Opěra O01- ZS1	10
4.3.2	Opěra O01- ZS2	18
4.3.3	Opěra O02 - ZS1	26
4.3.4	Opěra O02 – ZS2	34
4.4	Stanovení zatížitelnosti	42
4.4.1	Dřík opěry	42
4.4.2	Základ opěry	43
5	ÚLOŽNÝ PRAH	45
5.1	Předpoklady pro návrh a posouzení	45
5.2	Zatížení	45
5.3	Podélná výztuž úložného prahu	45
5.3.1	Návrh výztuže	45
5.4	Posouzení konstrukčních zásad	46
5.5	Podložisková oblast	47
5.5.1	Posouzení betonu	47
5.5.2	Návrh výztuže v roznášecí oblasti	47
5.6	Stanovení zatížitelnosti	48
6	ZÁVĚRNÁ ZÍDKA	49
6.1	Předpoklady pro návrh a posouzení	49
6.2	Zatížení	49
6.3	Vnitřní síly	50
6.4	Podélná výztuž závěrných zídek	51
6.4.1	Navržená výztuž	51
6.4.2	Mezní stav únosnosti - návrhová kombinace	51
6.4.3	Mezní stav použitelnosti - omezení napětí - charakteristická kombinace	52
6.4.4	Mezní stav použitelnosti - omezení trhlin - kvazistálá kombinace	53
6.5	Posouzení závěrných zídek na smyk	55
6.5.1	Posouzení průřezu bez smykové výztuže	55
6.6	Posouzení konstrukčních zásad	56
6.7	Stanovení zatížitelnosti	57
6.7.1	Ohyb – mezní stav únosnosti	57
6.7.2	Ohyb – mezní stav použitelnosti – omezení napětí	57
6.7.3	Smyk	57
7	ZAVĚŠENÁ KŘÍDLA	58
7.1	Předpoklady pro návrh a posouzení	58
7.2	Zatížení	58
7.3	Vnitřní síly	60
7.4	Podélná výztuž zavěšených křídel	61
7.4.1	Navržená výztuž	61

7.4.2	Mezní stav únosnosti - návrhová kombinace	62
7.4.3	Mezní stav použitelnosti - omezení napětí - charakteristická kombinace	63
7.4.4	Mezní stav použitelnosti - omezení trhlin - kvazistálá kombinace	64
7.5	Posouzení zavěšených křídel na smyk	66
7.5.1	Posouzení průřezu bez smykové výztuže	66
7.6	Posouzení konstrukčních zásad	67
7.7	Stanovení zatížitelnosti	68
7.7.1	Ohyb – mezní stav únosnosti	68
7.7.2	Ohyb – mezní stav použitelnosti – omezení napětí	68
7.7.3	Smyk	68
8	PŘEHLED NAVRŽENÉ VÝZTUŽE	69
9	ZÁVĚR	69
10	TABULKA ZATÍŽITELNOSTI	70
10.1	Identifikace mostu:	70
10.2	Identifikace části mostu	70
10.3	Doplňující údaje části mostu:	70
10.4	Přehled zatížitelnosti	71

1 TECHNICKÁ ZPRÁVA STATICKÉHO VÝPOČTU

1.1 POPIS SPODNÍ STAVBY MOSTNÍHO OBJEKTU

Spodní stavbu mostu tvoří krajní opěry O01 a O02. Krajní opěry jsou masivní, monolitické, ze železobetonu. Opěry jsou tvořeny základem, dřikem s úložným prahem a podložikovými bloky, závěrnou zídou a zavěšenými rovnoběžnými křídly, která jsou vetknuta do dříku opěry a závěrné zídky. Tvar obou opěr je shodný.

1.1.1 ZÁKLADY

Opěry budou uloženy plošně na monolitických železobetonových základech. Délka základů obou opěr je 6,70 m (tj. na šířku dříků opěr s přesahem 0,15 m na obě strany), šířka základu obou opěr je 4,47 m, výška základu obou opěr na styku s dřikem opěr je 1,00 m. Horní plocha základů je vyspádována směrem od dříků opěr k jejich okrajům, výška základů obou opěr na okrajích je potom 0,95 m.

1.1.2 OPĚRY (DŘÍK, ÚLOŽNÝ PRAH, ZÁVĚRNÁ ZÍDKA)

Dřík obou opěr má tl. 1,87 m a délku 6,4 m. Výška dříku včetně úložného prahu je 4,12 m (měřeno v lici opěr od základu po horní hranu úložného prahu z líce opěr). Železobetonový úložný prah má maximální výšku 0,8 m (v lici závěrné zídky), horní povrch úložného prahu je ve sklonu 2 % směrem k lici. Výška úložného prahu v lici opěry je potom 0,77 m. Závěrná zídka má šířku 0,4 m. Na horní ploše úložných prahů jsou umístěny podložiskové bloky. Podložiskové bloky mají horní povrch vodorovný a jsou opatřeny hnízdy pro osazení ložisek (skutečná velikost ložisek a tudíž i vyztužení podložiskových bloků bude upřesněno v rámci RDS či VTD na základě skutečných rozměrů použitých ložisek a rozmístění kotevních trnů ložisek).

1.1.3 ZAVĚŠENÁ KŘÍDLA

Křídla jsou navržena zavěšená rovnoběžná s šikmou dolní hranou. Délka křídel u obou opěr je 4,67 m (bráno od rubu dříku), šířka 0,6 m. Křídla u obou opěr jsou navržena se skloněným horním povrchem se sklonem 12 % pro zachycení kolejového lože na délku přechodu z uzavřeného na otevřené.

1.1.4 ŘÍMSY

Římy z estetických důvodů tvoří součást křídla a nejsou nijak stavebně odděleny od křídel. Šířka říms je 0,48 m a výška říms v lici je 0,35 mm.

1.1.5 MATERIÁLY KONSTRUKČNÍCH CELKŮ

Ve statickém výpočtu byly uvažované následující materiály:

Použité třídy betonů dle ČSN EN 206+A2

Všechny části spodní stavby **C30/37**

Betonářská výztuž

Ve všech částech spodní stavby mostu bude použita betonářská výztuž **B500B**.

1.2 POPIS STATICKÉHO VÝPOČTU

Cílem tohoto statického výpočtu je **ověření dimenzí železobetonových průřezů krajních opěr mostu a návrh betonářské výztuže v nich.**

Součástí statického výpočtu není posouzení napětí v základové spáře, posouzení opěr na překlopení a posunutí, posouzení sedání opěr – to je součástí Statického výpočtu založení opěr.

Ve statickém výpočtu jsou pro svoji obsáhlost uvedeny pouze základní vstupy a výsledky z výpočetních programů. Všechny podklady a podrobné vstupy a výsledky jsou archivovány u zpracovatele statického výpočtu.

1.2.1 ZATÍŽENÍ SPODNÍ STAVBY

Zatížení na spodní stavbu mostu bylo uvažováno dle příslušných částí normy ČSN EN 1991 Zatížení konstrukcí a zatížení zemním tlakem dle ČSN 73 0037 Zemní tlak na stavební konstrukce.

Reakce na ložiska byly převzaty ze Statického výpočtu OK.

1.2.2 PRVKY POČÍTANÉ A POSUZOVANÉ VE STATICKÉM VÝPOČTU

V rámci statického výpočtu počítány a posuzovány následující prvky:

- základ a dřík opěr
- úložný práh
- závěrná zídka
- zavěšená křídla

Posouzení železobetonových průřezů bylo provedeno dle ČSN EN 1992 Navrhování betonových konstrukcí.

2 POUŽITÉ PODKLADY, LITERATURA A SOFTWARE

- 1) ČSN EN 1990 Zásady navrhování konstrukcí
- 2) ČSN EN 1991 Zatížení konstrukcí
- 3) ČSN EN 1992 Navrhování betonových konstrukcí
- 4) ČSN EN 1997 Navrhování geotechnických konstrukcí
- 5) ČSN EN 206+A2 Beton - Specifikace, vlastnosti, výroba a shoda
- 6) ČSN 73 0037 Zemní tlak na stavební konstrukce
- 7) ČSN 73 6214 Navrhování betonových mostních konstrukcí
- 8) SŽ S5/1 Diagnostika, zatížitelnost a přechodnost železničních mostních objektů, 03/3021
- 9) FIP Recommendations 1996, Practical Design of Structural Concrete
- 10) Designers' Guide to Eurocode: Basis of Structural Design, Gulvanessian, Calgaro, and Holický, Thomas Telford Publishing, London, 2012
- 11) Designer's guide to Eurocode I: Action on Bridges, Calgaro, Tschumi and Gulvanessian, Thomas Telford Publishing, London, 2010
- 12) Designer's guide to EN 1992-2, Eurocode 2: Design of concrete structures, Part 2: Concrete Bridges, Hendy and Smith, Thomas Telford Publishing, London, 2007
- 13) Betónové konštrukcie, Bilčík, Fillo, Benko, Halvonik, ES STU Bratislava, 2008
- 14) Navrhování betonových konstrukcí, Procházka a kol., ČBS, Praha 2005
- 15) program MIDAS/Civil firmy MIDAS Information Technology Co.,Ltd
- 16) program GEO5 Úhlová zeď firmy Fine spol. s.r.o.

3



4 ZÁKLAD A DŘÍK OPĚR

4.1 PŘEDPOKLADY PRO NÁVRH A POSOUZENÍ

Železobetonové průřezy základu a dříku opěry byly navrženy v programu GEO5 Úhlová zeď podle ČSN EN 1992.

4.2 ZATÍŽENÍ

Vlastní tíha konstrukce a tíha zemního klínu

Program GEO5 Úhlová zeď počítá automaticky na základě zadané geometrie a materiálových vlastností.

Odečet g_0

Vzhledem k tomu, že geometrie konstrukce je v programu GEO5 Úhlová zeď idealizovaná, byla zadána síla zohledňující toto zjednodušení (počítáno na jeden metr délky opěry)

- $1,77 \cdot 1,47 \cdot 25 = 65,05 \text{ kN/m}$

Tíha křídla

Tíha jednoho křídla se roznáší na polovinu délky opěry (uvažováno při posouzení základu, neuvažováno při posouzení dříku):

- $25 \cdot (0,60 \cdot 18,491 + 0,37 \cdot 5,2) / (0,5 \cdot 6,4) = 101,71 \text{ kN/m}$

Zemní tlak

Program GEO5 Úhlová zeď počítá automaticky na základě zadané geometrie a materiálových vlastností.

Zvětšení zemního tlaku od zatížení kolejovou dopravou

Bylo zadáno přetížení povrchu od modelu zatížení LM71 a program GEO5 Úhlová zeď automaticky spočítá odpovídající zemní tlak. Přetížení povrchu je následující (zatížení od koleje se roznáší na celou délku opěry):

$Q_{vk} =$	250	kN	- tíha nápravy
$n_Q =$	4		- počet náprav
$L_Q =$	6.400	m	- délka, na kterou se zatížení od náprav roznáší
$q_{vk} =$	80	kN	- rovnoměrné zatížení
$b_{roznos} =$	6.400	m	- roznášecí šířka
$\alpha =$	1.21		

rozpočet zatížení	Q_{vk}		q_{vk}	
	celkem	roznos	celkem	roznos
	[kN/m]	[kN/m ²]	[kN/m]	[kN/m ²]
q_{LM71}	156.25	24.41	80.00	12.50
$\alpha \cdot q_{LM71}$	189.0625	29.54	96.8	15.13

Reakce z jednoho ložiska se roznáší na polovinu délky opěry a do modelu jsou zadány podělené součinitelem 1,35 (do programu zadány jako stálé zatížení):

- opěra 001- ZS1
 - reakce v ložiskách $F_{Ed,MSÚ} = 2100 \text{ kN}$
 $H_{Ed, MSÚ} = 830 \text{ kN}$
 - reakce na 1 m $F_{Ed,MSÚ,1m} = 2100/(0,5*6,4) = 656,25 \text{ kN/m}$
 $H_{Ed, MSÚ,1m} = 830/(0,5*6,4) = 259,38 \text{ kN/m}$
 - reakce do modelu $F_{Ed,model} = 656,25/1,35 = \mathbf{486,11 \text{ kN/m}}$
 $H_{Ed,model} = 259,38/1,35 = \mathbf{192,13 \text{ kN/m}}$
 $F_{Ed} + H_{Ed} = (486,11^2 + 192,13^2)^{0,5} = 522,70 \text{ kN/m}$
- opěra 001- ZS2
 - reakce v ložiskách $F_{Ed,MSÚ} = 1570 \text{ kN}$
 $H_{Ed, MSÚ} = 800 \text{ kN}$
 - reakce na 1 m $F_{Ed,MSÚ,1m} = 1570/(0,5*6,4) = 490,63 \text{ kN/m}$
 $H_{Ed, MSÚ,1m} = 800/(0,5*6,4) = 250,00 \text{ kN/m}$
 - reakce do modelu $F_{Ed,model} = 490,63/1,35 = \mathbf{363,43 \text{ kN/m}}$
 $H_{Ed,model} = 250,00/1,35 = \mathbf{185,19 \text{ kN/m}}$
 $F_{Ed} + H_{Ed} = (363,43^2 + 185,19^2)^{0,5} = 407,89 \text{ kN/m}$
- opěra 002- ZS1
 - reakce v ložiskách $F_{Ed,MSÚ} = 2100 \text{ kN}$
 $H_{Ed, MSÚ} = 220 \text{ kN}$
 - reakce na 1 m $F_{Ed,MSÚ,1m} = 2100/(0,5*6,4) = 656,25 \text{ kN/m}$
 $H_{Ed, MSÚ,1m} = 220/(0,5*6,4) = 68,75 \text{ kN/m}$
 - reakce do modelu $F_{Ed,model} = 656,25/1,35 = \mathbf{486,11 \text{ kN/m}}$
 $H_{Ed,model} = 68,75/1,35 = \mathbf{50,93 \text{ kN/m}}$
 $F_{Ed} + H_{Ed} = (486,11^2 + 50,93^2)^{0,5} = 488,77 \text{ kN/m}$
- opěra 002- ZS2
 - reakce v ložiskách $F_{Ed,MSÚ} = 630 \text{ kN}$
 $H_{Ed, MSÚ} = 70 \text{ kN}$
 - reakce na 1 m $F_{Ed,MSÚ,1m} = 630/(0,5*6,4) = 196,88 \text{ kN/m}$
 $H_{Ed, MSÚ,1m} = 70/(0,5*6,4) = 21,88 \text{ kN/m}$
 - reakce do modelu $F_{Ed,model} = 196,88/1,35 = \mathbf{145,84 \text{ kN/m}}$
 $H_{Ed,model} = 21,88/1,35 = \mathbf{16,21 \text{ kN/m}}$
 $F_{Ed} + H_{Ed} = (145,84^2 + 16,21^2)^{0,5} = 146,74 \text{ kN/m}$

4.3 DIMENZOVÁNÍ**4.3.1 OPĚRA 001- ZS1****Vstupní data****Projekt**

Akce : Rekonstrukce mostu v km 42,794 trati Havlíčkův Brod - Pardubice
 Část : SO 01 Most v km 42,794
 Popis : OP1-ZS1
 Vypracoval : Ing. Petr Šedivý
 Datum : 17.01.2022

Nastavení

(zadané pro aktuální úlohu)

Materiály a normy

Betonové konstrukce : EN 1992-2
 Součinitele EN 1992-2 : uživatelské
 Článek 3.1.6 : $\alpha_{cc} = 0,90$

Výpočet zdí

Výpočet aktivního tlaku : Coulomb (ČSN 730037)
 Výpočet pasivního tlaku : Caquot-Kerisel (ČSN 730037)
 Výpočet zemětřesení : Mononobe-Okabe
 Tvar zemního klínu : počítat šikmý
 Výstupek základu : výstupek uvažovat jako šikmou základovou spáru
 Dovolená excentricita : 0,333
 Metodika posouzení : výpočet podle EN 1997
 Návrhový přístup : 2 - redukce zatížení a odporu

Součinitele redukce zatížení (F)				
Trvalá návrhová situace				
		Nepříznivé		Příznivé
Stálé zatížení :	$\gamma_G =$	1,35	[-]	1,00 [-]
Proměnné zatížení :	$\gamma_Q =$	1,50	[-]	0,00 [-]
Zatížení vodou :	$\gamma_w =$	1,35	[-]	

Součinitele redukce odporu (R)				
Trvalá návrhová situace				
Součinitel redukce odporu na překlopení :	$\gamma_{Rv} =$	1,40	[-]	
Součinitel redukce odporu na posunutí :	$\gamma_{Rh} =$	1,10	[-]	
Součinitel redukce odporu základové půdy :	$\gamma_{Re} =$	1,40	[-]	

Kombinační součinitele pro proměnná zatížení			
Trvalá návrhová situace			
Součinitel kombinační hodnoty :	$\psi_0 =$	0,70	[-]
Součinitel časté hodnoty :	$\psi_1 =$	0,50	[-]
Součinitel kvazistálé hodnoty :	$\psi_2 =$	0,30	[-]

Materiál konstrukce

Objemová tíha $\gamma = 25,00 \text{ kN/m}^3$

Výpočet betonových konstrukcí proveden podle normy EN 1992-2.

Beton : C 30/37

Válcová pevnost v tlaku $f_{ck} = 30,00 \text{ MPa}$

Pevnost v tahu $f_{ctm} = 2,90 \text{ MPa}$

Ocel podélná : B500

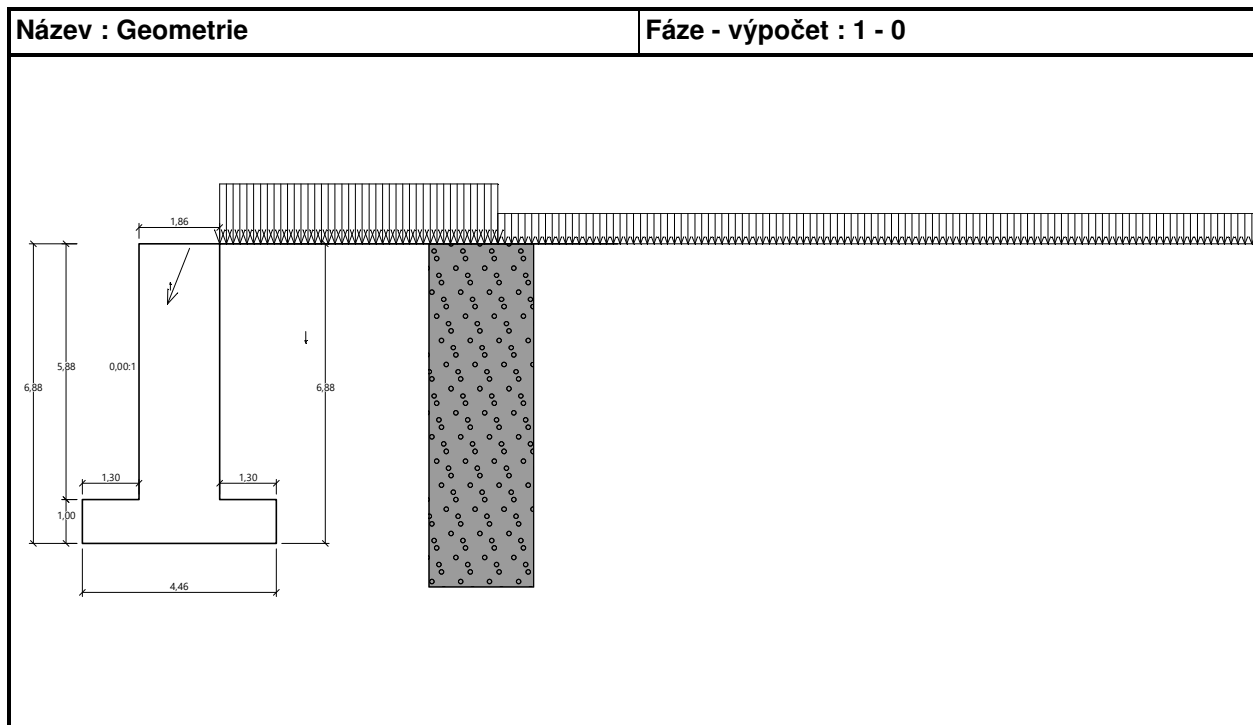
Mez kluzu $f_{yk} = 500,00 \text{ MPa}$

Geometrie konstrukce

Číslo	Pořadnice X [m]	Hloubka Z [m]
1	0,00	0,00
2	0,00	5,88
3	1,30	5,88
4	1,30	6,88
5	-3,16	6,88
6	-3,16	5,88
7	-1,86	5,88
8	-1,86	0,00

Počátek [0,0] je v nejhořejším pravém bodu zdi.

Plocha řezu zdi = 15,40 m².



Základní parametry zemín

Číslo	Název	Vzorek	φ_{ef} [°]	c_{ef} [kPa]	γ [kN/m ³]	γ_{su} [kN/m ³]	δ [°]
1	Zásyp		30,00	0,00	20,00	10,00	15,00

Pro výpočet tlaku v klidu jsou všechny zeminy zadány jako nesoudržné.

Parametry zemín

Zásyp

Objemová tíha : $\gamma = 20,00 \text{ kN/m}^3$

Napjatost : efektivní

Úhel vnitřního tření : $\varphi_{ef} = 30,00^\circ$

Soudržnost zeminy : $c_{ef} = 0,00 \text{ kPa}$

Třecí úhel kce-zemina : $\delta = 15,00^\circ$

Zemina : nesoudržná

Obj.tíha sat.zeminy : $\gamma_{sat} = 20,00 \text{ kN/m}^3$

Geologický profil a přiřazení zemín

Číslo	Mocnost vrstvy t [m]	Hloubka z [m]	Přiřazená zemina	Vzorek
1	-	0,00 .. ∞	Zásyp	

Založení

Typ založení : zemina - geologický profil

Tvar terénu

Terén za konstrukcí je rovný.

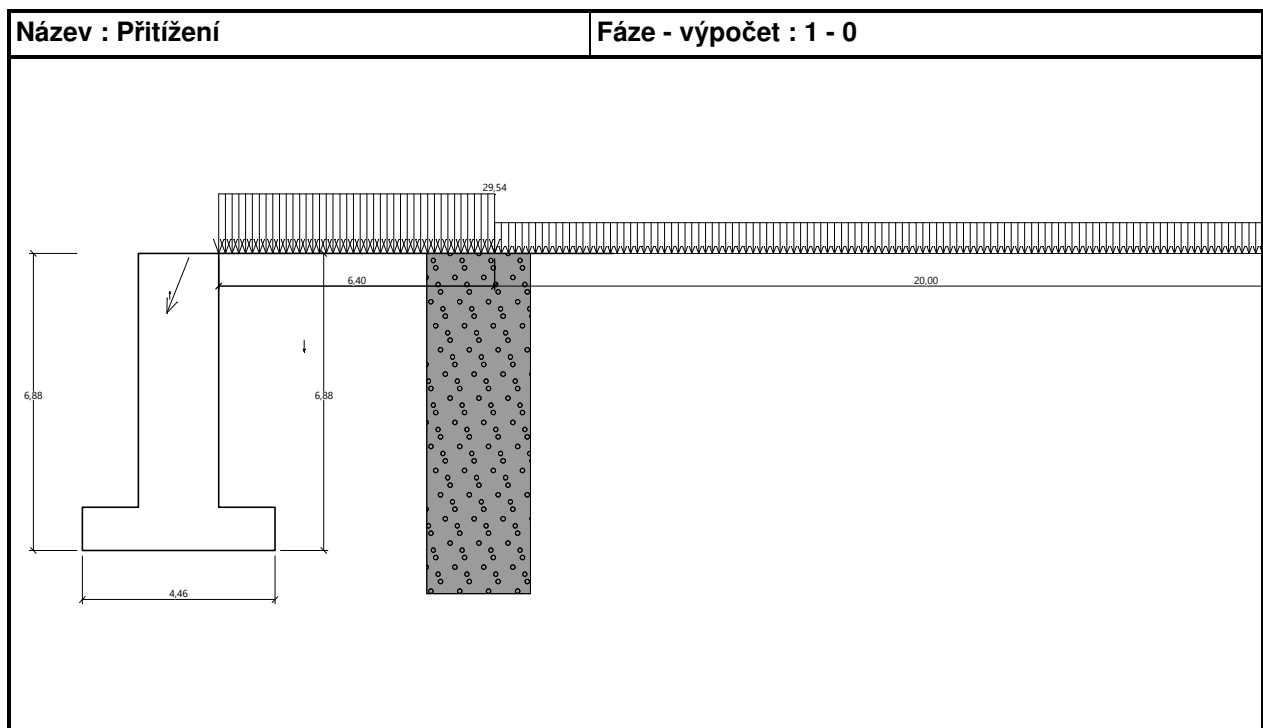
Vliv vody

Hladina podzemní vody je pod úrovní konstrukce.

Zadaná plošná přitížení

Číslo	Přítížení		Působ.	Vel.1 [kN/m ²]	Vel.2 [kN/m ²]	Poř.x x [m]	Délka l [m]	Hloubka z [m]
	nové	změna						
1	Ano		proměnné	29,54		0,00	6,40	na terénu
2	Ano		proměnné	15,12		6,40	20,00	na terénu

Číslo	Název
1	LM71-roznesená břemena
2	LM71-rovnomořné



Odpor na líci konstrukce

Odpor na líci konstrukce není uvažován.

Číslo	Síla		Název	Působ.	F _x	F _z	M	x	z
	nová	změna			[kN/m]	[kN/m]	[kNm/m]	[m]	[m]
1	Ano		Odečet g0	stálé	0,00	-65,05	0,00	-1,13	0,89
2	Ano		Reakce od NK	stálé	-192,13	486,11	0,00	-1,20	1,38
3	Ano		Křídlo	stálé	0,00	101,71	0,00	1,98	2,28

Název : Zadané síly	Fáze - výpočet : 1 - 0
----------------------------	-------------------------------

Zed' se může přemístit, je počítána na zatížení aktivním tlakem.

Posouzení dříku**Spočtené síly působící na konstrukci**

Název	F_{hor} [kN/m]	Působíště z [m]	F_{vert} [kN/m]	Působíště x [m]	Koef. moment	Koef. norm.sila	Koef. pos.sila
Tíh.- zeď	0,00	-2,94	273,36	0,93	1,000	1,350	1,000
Tlak v klidu	172,80	-1,96	0,00	1,86	1,350	1,000	1,350
LM71-roznesená břemena	70,38	-3,27	0,00	1,86	1,500	0,000	1,500
LM71-rovnoměrné	29,54	-2,18	0,00	1,86	1,500	0,000	1,500
Odečet g_0	0,00	-4,99	-65,05	0,73	1,000	1,000	1,000
Reakce od NK	192,13	-4,50	486,11	0,66	1,350	1,350	1,350

Posouzení dříku - zadní výztuž

Posouzení zdi v pracovní spáře 5,88 m od koruny zdi

Vyztužení a rozměry průřezu

5 ks profil 28,0 mm, krytí 65,0 mm

Zadaná plocha výztuže = 3078,8 mm²

Nutná plocha výztuže = 2938,9 mm²

Šířka průřezu = 1,00 m

Výška průřezu = 1,86 m

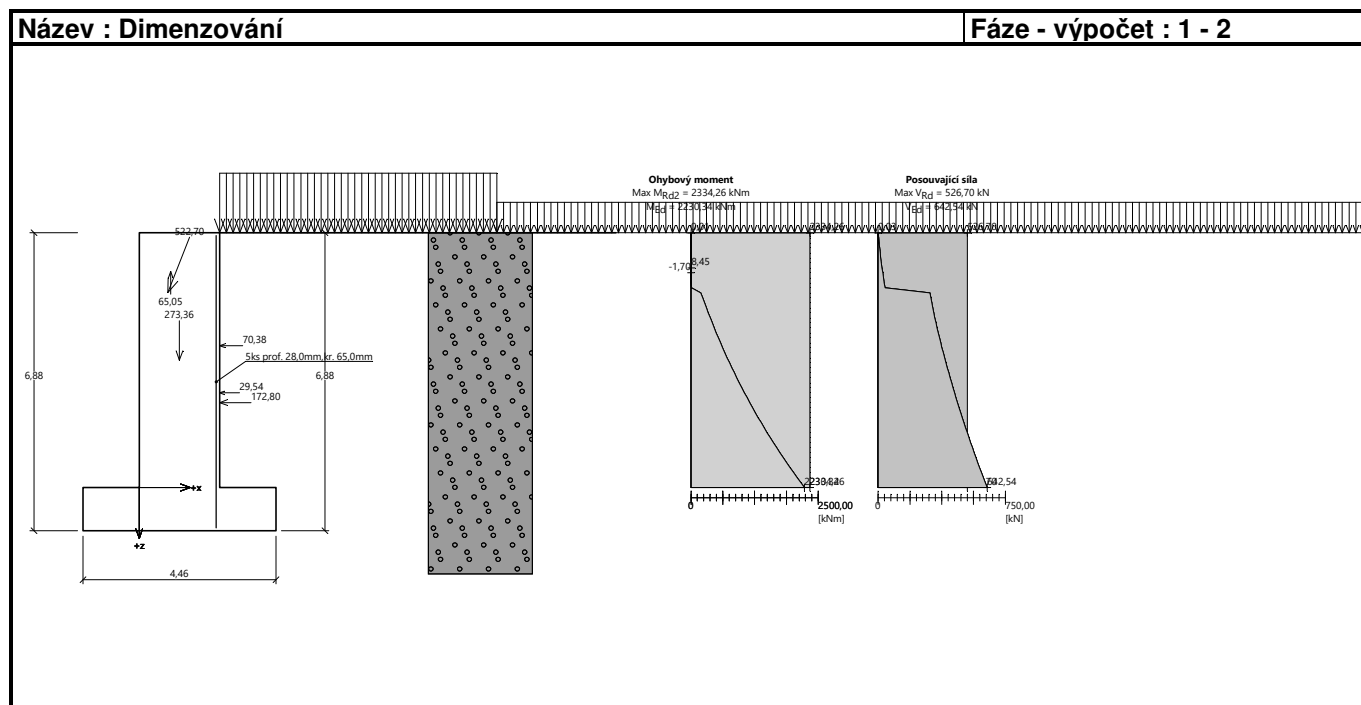
Stupeň vyztužení $\rho = 0,17 \% > 0,15 \% = \rho_{min}$

Poloha neutrální osy $x = 0,09 \text{ m} < 1,10 \text{ m} = x_{max}$

Moment na mezi únosnosti $M_{Rd} = 2334,26 \text{ kNm} > 2230,34 \text{ kNm} = M_{Ed}$

Průřez musí být vyztužen kolmými třmínky o ploše nejméně 368,8 mm²/m nebo ekvivalentními ohyby.

Průřez VYHOVUJE.



Posouzení výstupku

Spočtené síly působící na konstrukci

Název	F_{hor} [kN/m]	Působíště z [m]	F_{vert} [kN/m]	Působíště x [m]	Výpočtový koeficient
Tíh.- zed'	0,00	-2,94	384,92	2,23	1,350
Tíh.- zemní klín	0,00	-1,75	29,27	3,59	1,350
Aktivní tlak	146,84	-2,28	143,83	3,85	1,350
LM71-roznesená břemena	49,06	-3,69	27,14	3,67	1,500
LM71-rovnorné	9,33	-1,34	9,66	3,91	1,500
Odečet g_0	0,00	-5,99	-65,05	2,03	1,000
Reakce od NK	192,13	-5,50	486,11	1,96	1,350
Křídlo	0,00	-4,60	101,71	5,14	1,350

Posouzení výstupku

Vyztužení a rozměry průřezu

5 ks profil 32,0 mm, krytí 65,0 mm

Zadaná plocha výztuže = 4021,2 mm²

Nutná plocha výztuže = 3785,1 mm²

Šířka průřezu = 1,00 m

Výška průřezu = 1,00 m

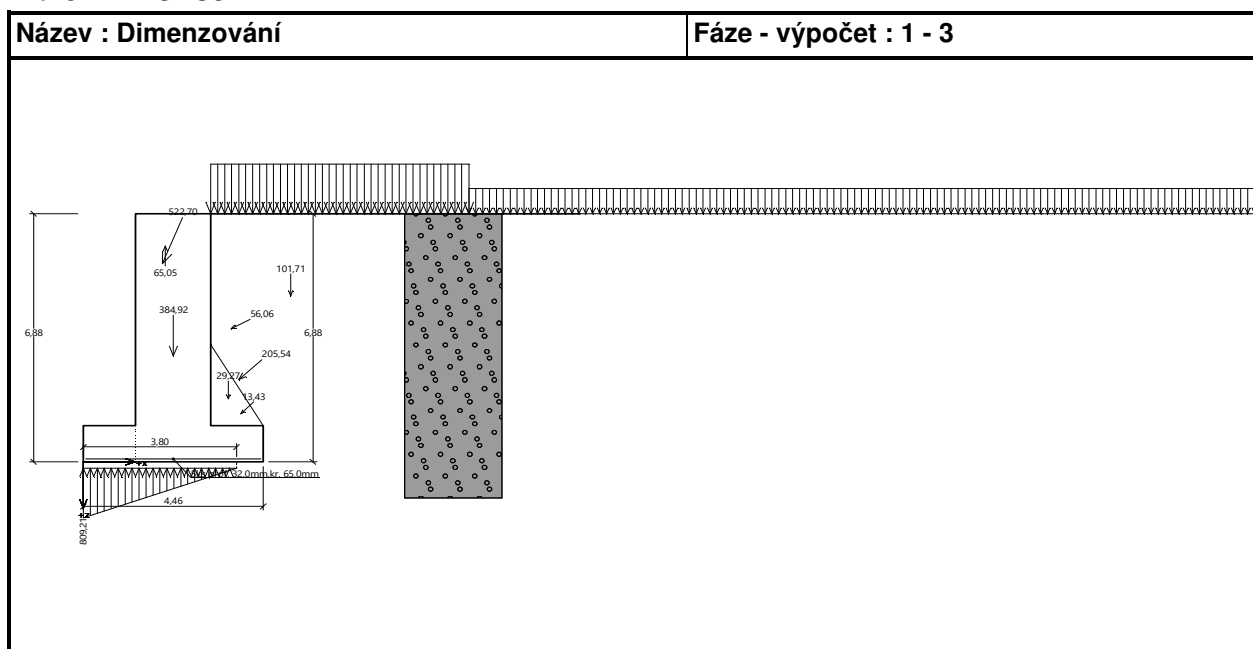
Stupeň vyztužení $\rho = 0,44 \% > 0,15 \% = \rho_{min}$

Poloha neutrální osy $x = 0,12 \text{ m} < 0,57 \text{ m} = x_{max}$

Moment na mezi únosnosti $M_{Rd} = 1521,84 \text{ kNm} > 1437,16 \text{ kNm} = M_{Ed}$

Průřez musí být vyztužen kolmými třmínky o ploše nejméně 933,8 mm²/m nebo ekvivalentními ohyby.

Průřez VYHOVUJE.



Posouzení paty**Spočtené síly působící na konstrukci**

Název	F_{hor} [kN/m]	Působíště z [m]	F_{vert} [kN/m]	Působíště x [m]	Výpočtový koeficient
Tíh.- zed'	0,00	-0,50	32,50	3,81	1,350
Tíh.- zemní klín	0,00	-1,75	29,27	3,59	1,350
Aktivní tlak	146,84	-2,28	143,83	3,85	1,350
LM71-roznesená břemena	49,06	-3,69	27,14	3,67	1,500
LM71-rovnorné	9,33	-1,34	9,66	3,91	1,500
Kontaktní napětí	0,00	0,00	-43,47	3,37	1,000
Tíhová přít.1	0,00	-6,88	0,15	3,16	1,500

Posouzení paty

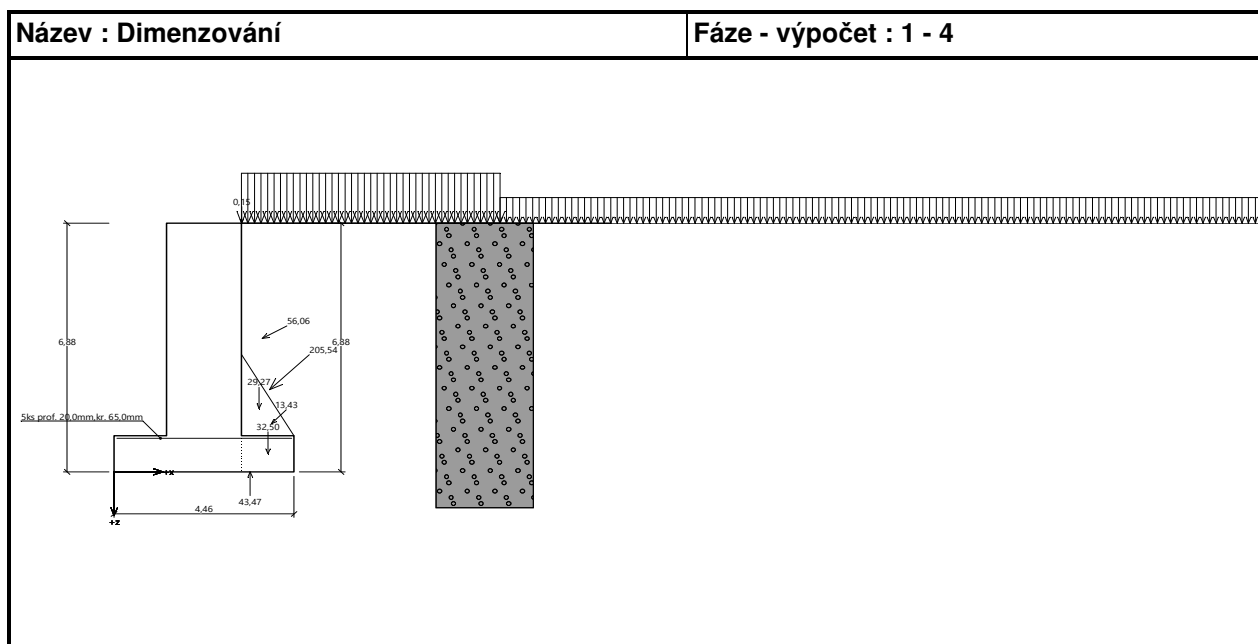
Vyztužení a rozměry průřezu

5 ks profil 20,0 mm, krytí 65,0 mm

Zadaná plocha výztuže = 1570,8 mm²Nutná plocha výztuže = 1394,9 mm²

Šířka průřezu = 1,00 m

Výška průřezu = 1,00 m

Stupeň vyztužení $\rho = 0,17 \% > 0,15 \% = \rho_{min}$ Poloha neutrálné osy $x = 0,05 \text{ m} < 0,57 \text{ m} = x_{max}$ Posouvající síla na mezi únosnosti $V_{Rd} = 314,43 \text{ kN} > 289,50 \text{ kN} = V_{Ed}$ Moment na mezi únosnosti $M_{Rd} = 618,78 \text{ kNm} > 497,20 \text{ kNm} = M_{Ed}$ **Průřez VYHOVUJE.**

4.3.2 OPĚRA 001- ZS2**Vstupní data****Projekt**

Akce : Rekonstrukce mostu v km 42,794 trati Havlíčkův Brod - Pardubice
 Část : SO 01 Most v km 42,794
 Popis : OP1-ZS2
 Vypracoval : Ing. Petr Šedivý
 Datum : 17.01.2022

Nastavení

(zadané pro aktuální úlohu)

Materiály a normy

Betonové konstrukce : EN 1992-2
 Součinitele EN 1992-2 : uživatelské
 Článek 3.1.6 : $\alpha_{cc} = 0,90$

Výpočet zdí

Výpočet aktivního tlaku : Coulomb (ČSN 730037)
 Výpočet pasivního tlaku : Caquot-Kerisel (ČSN 730037)
 Výpočet zemětřesení : Mononobe-Okabe
 Tvar zemního klínu : počítat šikmý
 Výstupek základu : výstupek uvažovat jako šikmou základovou spáru
 Dovolená excentricita : 0,333
 Metodika posouzení : výpočet podle EN 1997
 Návrhový přístup : 2 - redukce zatížení a odporu

Součinitele redukce zatížení (F)				
Trvalá návrhová situace				
		Nepříznivé		Příznivé
Stálé zatížení :	$\gamma_G =$	1,35	[-]	1,00 [-]
Proměnné zatížení :	$\gamma_Q =$	1,50	[-]	0,00 [-]
Zatížení vodou :	$\gamma_w =$	1,35	[-]	

Součinitele redukce odporu (R)			
Trvalá návrhová situace			
Součinitel redukce odporu na překlopení :	$\gamma_{Rv} =$	1,40	[-]
Součinitel redukce odporu na posunutí :	$\gamma_{Rh} =$	1,10	[-]
Součinitel redukce odporu základové půdy :	$\gamma_{Re} =$	1,40	[-]

Kombinační součinitele pro proměnná zatížení			
Trvalá návrhová situace			
Součinitel kombinační hodnoty :	$\psi_0 =$	0,70	[-]
Součinitel časté hodnoty :	$\psi_1 =$	0,50	[-]
Součinitel kvazistálé hodnoty :	$\psi_2 =$	0,30	[-]

Materiál konstrukce

Objemová tíha $\gamma = 25,00 \text{ kN/m}^3$

Výpočet betonových konstrukcí proveden podle normy EN 1992-2.

Beton : C 30/37

Válcová pevnost v tlaku $f_{ck} = 30,00 \text{ MPa}$

Pevnost v tahu $f_{ctm} = 2,90 \text{ MPa}$

Ocel podélná : B500

Mez kluzu $f_{yk} = 500,00 \text{ MPa}$

Geometrie konstrukce

Číslo	Pořadnice X [m]	Hloubka Z [m]
1	0,00	0,00
2	0,00	5,88
3	1,30	5,88
4	1,30	6,88
5	-3,16	6,88
6	-3,16	5,88
7	-1,86	5,88
8	-1,86	0,00

Počátek [0,0] je v nejhořejším pravém bodu zdi.

Plocha řezu zdi = 15,40 m².

EXprojekt s.r.o.

Založení

Typ založení : zemina - geologický profil

Tvar terénu

Terén za konstrukcí je rovný.

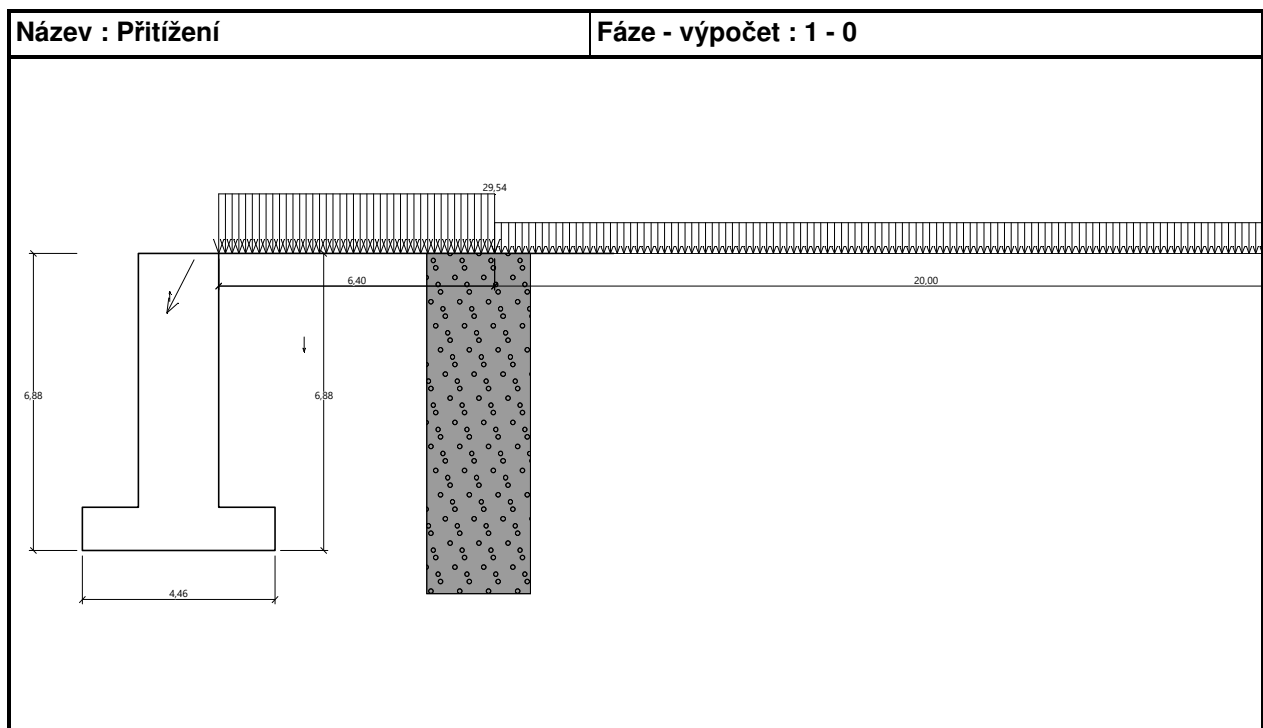
Vliv vody

Hladina podzemní vody je pod úrovní konstrukce.

Zadaná plošná přitížení

Číslo	Přítížení		Působ.	Vel.1 [kN/m ²]	Vel.2 [kN/m ²]	Poř.x x [m]	Délka l [m]	Hloubka z [m]
	nové	změna						
1	Ano		proměnné	29,54		0,00	6,40	na terénu
2	Ano		proměnné	15,12		6,40	20,00	na terénu

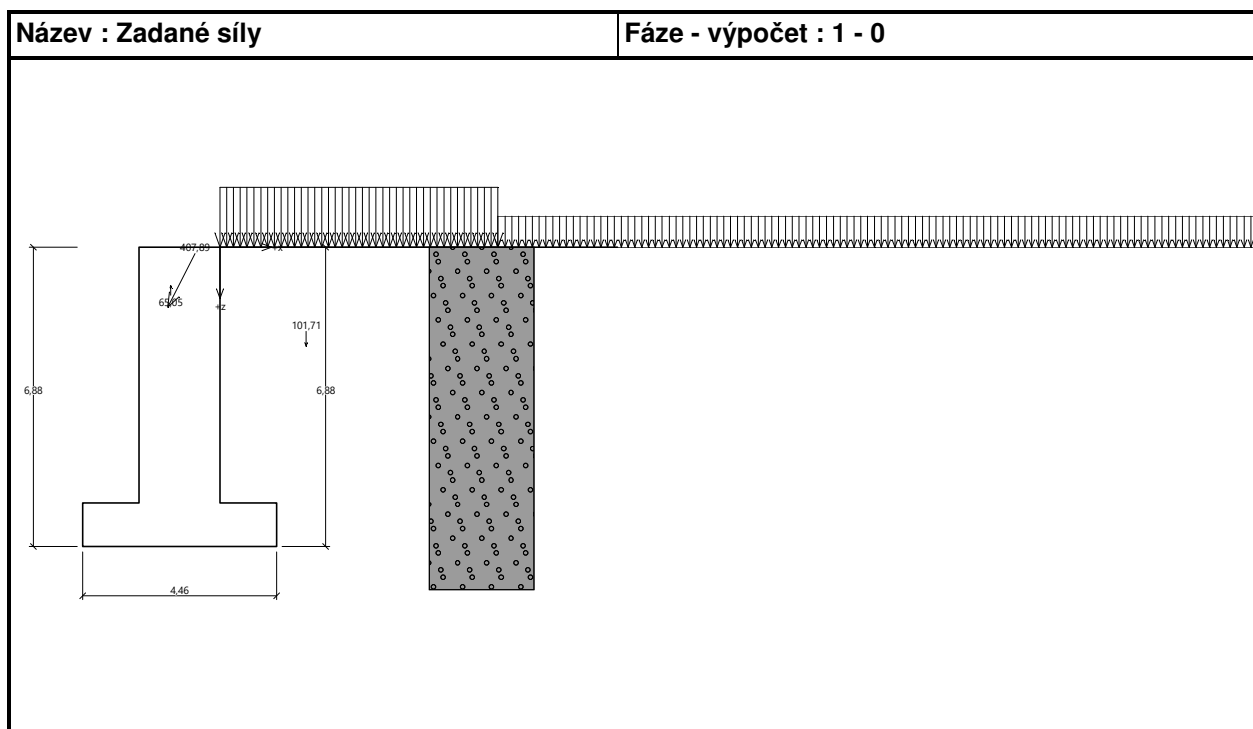
Číslo	Název
1	LM71-roznesená břemena
2	LM71-rovnomořné



Odpor na líci konstrukce

Odpor na líci konstrukce není uvažován.

Číslo	Síla		Název	Působ.	F _x	F _z	M	x	z
	nová	změna			[kN/m]	[kN/m]	[kNm/m]	[m]	[m]
1	Ano		Odečet g0	stálé	0,00	-65,05	0,00	-1,13	0,89
2	Ano		Reakce od NK	stálé	-185,19	363,43	0,00	-1,20	1,38
3	Ano		Křídlo	stálé	0,00	101,71	0,00	1,98	2,28



Zed' se může přemístit, je počítána na zatížení aktivním tlakem.

Posouzení dříku**Posouzení dříku - zadní výztuž****Spočtené síly působící na konstrukci**

Název	F_{hor} [kN/m]	Působíště z [m]	F_{vert} [kN/m]	Působíště x [m]	Koef. moment	Koef. norm.sila	Koef. pos.sila
Tíh.- zeď	0,00	-2,94	273,36	0,93	1,000	1,350	1,000
Tlak v klidu	172,80	-1,96	0,00	1,86	1,350	1,000	1,350
LM71-roznesená břemena	70,38	-3,27	0,00	1,86	1,500	0,000	1,500
LM71-rovnorné	29,54	-2,18	0,00	1,86	1,500	0,000	1,500
Odečet g_0	0,00	-4,99	-65,05	0,73	1,000	1,000	1,000
Reakce od NK	185,19	-4,50	363,43	0,66	1,350	1,350	1,350

Posouzení dříku - zadní výztuž

Posouzení zdi v pracovní spáře 5,88 m od koruny zdi

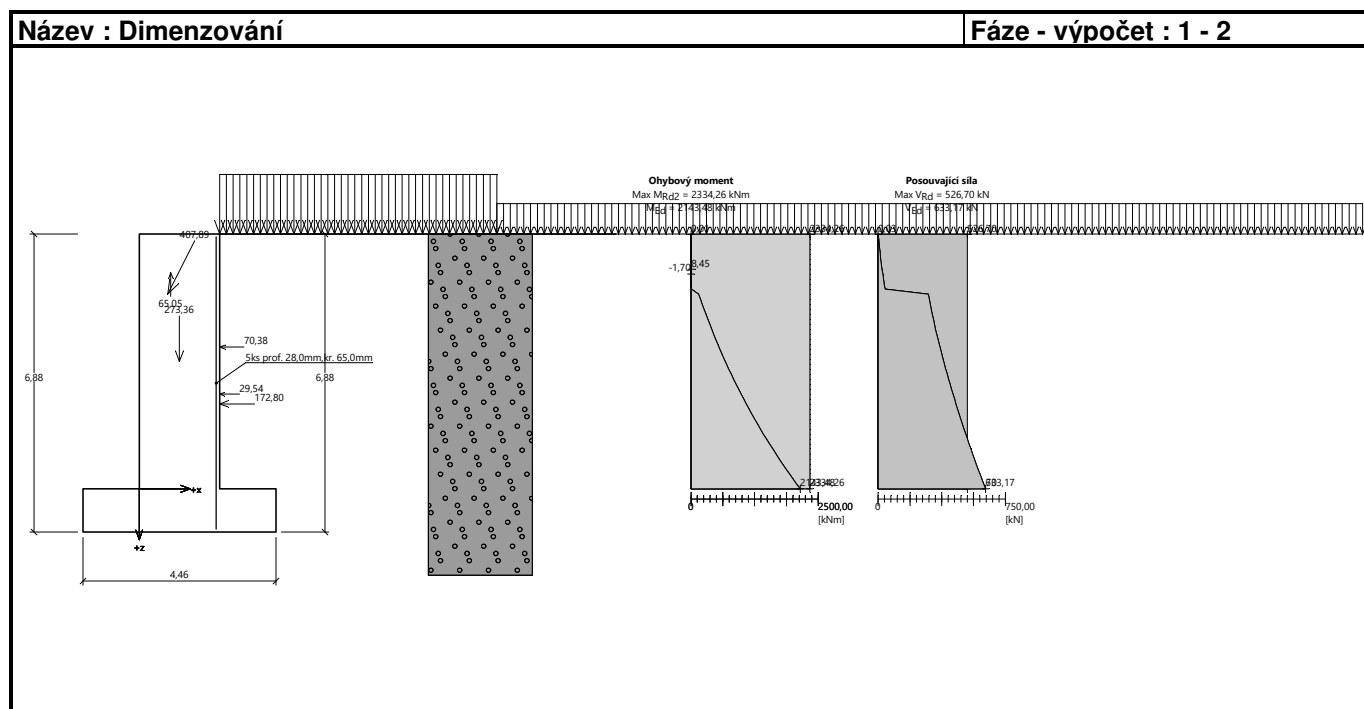
Vyztužení a rozměry průřezu

5 ks profil 28,0 mm, krytí 65,0 mm

Zadaná plocha výztuže = 3078,8 mm²Nutná plocha výztuže = 2822,1 mm²

Šířka průřezu = 1,00 m

Výška průřezu = 1,86 m

Stupeň vyztužení $\rho = 0,17 \% > 0,15 \% = \rho_{min}$ Poloha neutrálné osy $x = 0,09 \text{ m} < 1,10 \text{ m} = x_{max}$ Moment na mezi únosnosti $M_{Rd} = 2334,26 \text{ kNm} > 2143,48 \text{ kNm} = M_{Ed}$ Průřez musí být vyztužen kolmými třmínky o ploše nejméně 363,4 mm²/m nebo ekvivalentními ohyby.**Průřez VYHOVUJE.**

Posouzení výstupku**Spočtené síly působící na konstrukci**

Název	F_{hor} [kN/m]	Působíště z [m]	F_{vert} [kN/m]	Působíště x [m]	Výpočtový koeficient
Tíh.- zed'	0,00	-2,94	384,92	2,23	1,350
Tíh.- zemní klín	0,00	-1,75	29,27	3,59	1,350
Aktivní tlak	146,84	-2,28	143,83	3,85	1,350
LM71-roznesená břemena	49,06	-3,69	27,14	3,67	1,500
LM71-rovnorné	9,33	-1,34	9,66	3,91	1,500
Odečet g0	0,00	-5,99	-65,05	2,03	1,000
Reakce od NK	185,19	-5,50	363,43	1,96	1,350
Křídlo	0,00	-4,60	101,71	5,14	1,350

Posouzení výstupku

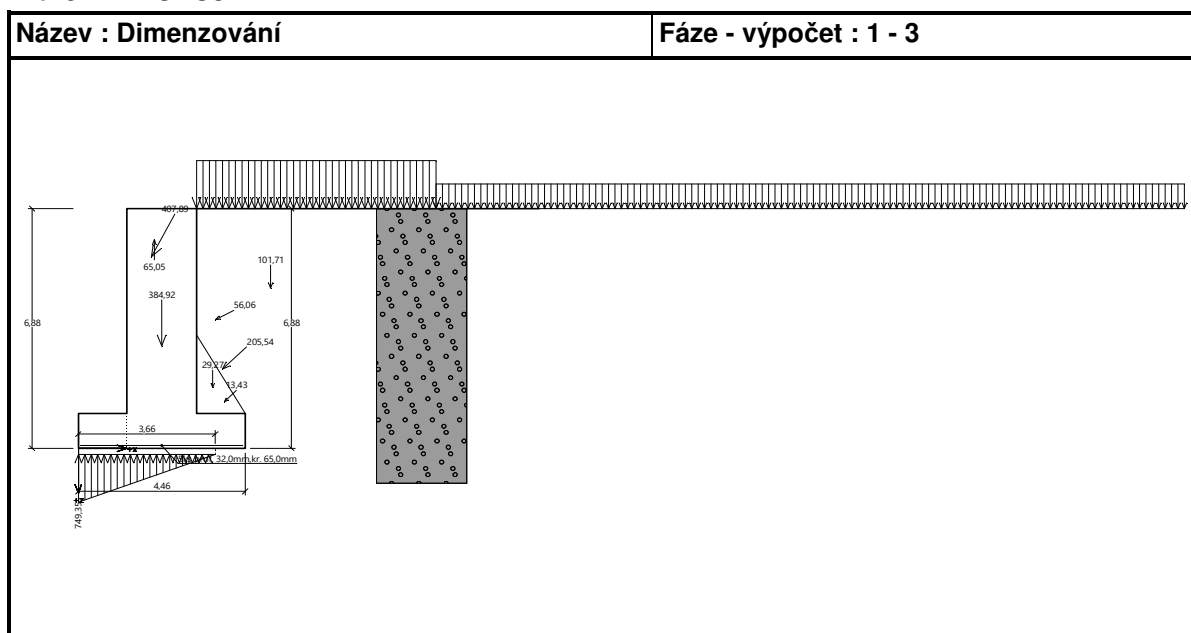
Vyztužení a rozměry průřezu

5 ks profil 32,0 mm, krytí 65,0 mm

Zadaná plocha výztuže = 4021,2 mm²Nutná plocha výztuže = 3497,1 mm²

Šířka průřezu = 1,00 m

Výška průřezu = 1,00 m

Stupeň vyztužení $\rho = 0,44 \% > 0,15 \% = \rho_{min}$ Poloha neutrální osy $x = 0,12 \text{ m} < 0,57 \text{ m} = x_{max}$ Moment na mezi únosnosti $M_{Rd} = 1521,84 \text{ kNm} > 1333,10 \text{ kNm} = M_{Ed}$ Průřez musí být vyztužen kolmými třmínky o ploše nejméně 855,0 mm²/m nebo ekvivalentními ohyby.**Průřez VYHOVUJE.**

Posouzení paty**Spočtené síly působící na konstrukci**

Název	F_{hor} [kN/m]	Působíště z [m]	F_{vert} [kN/m]	Působíště x [m]	Výpočtový koeficient
Tíh.- zed'	0,00	-0,50	32,50	3,81	1,350
Tíh.- zemní klín	0,00	-1,75	29,27	3,59	1,350
Aktivní tlak	146,84	-2,28	143,83	3,85	1,350
LM71-roznesená břemena	49,06	-3,69	27,14	3,67	1,500
LM71-rovnorné	9,33	-1,34	9,66	3,91	1,500
Kontaktní napětí	0,00	0,00	-25,61	3,33	1,000
Tíhová přít.1	0,00	-6,88	0,15	3,16	1,500

Posouzení paty

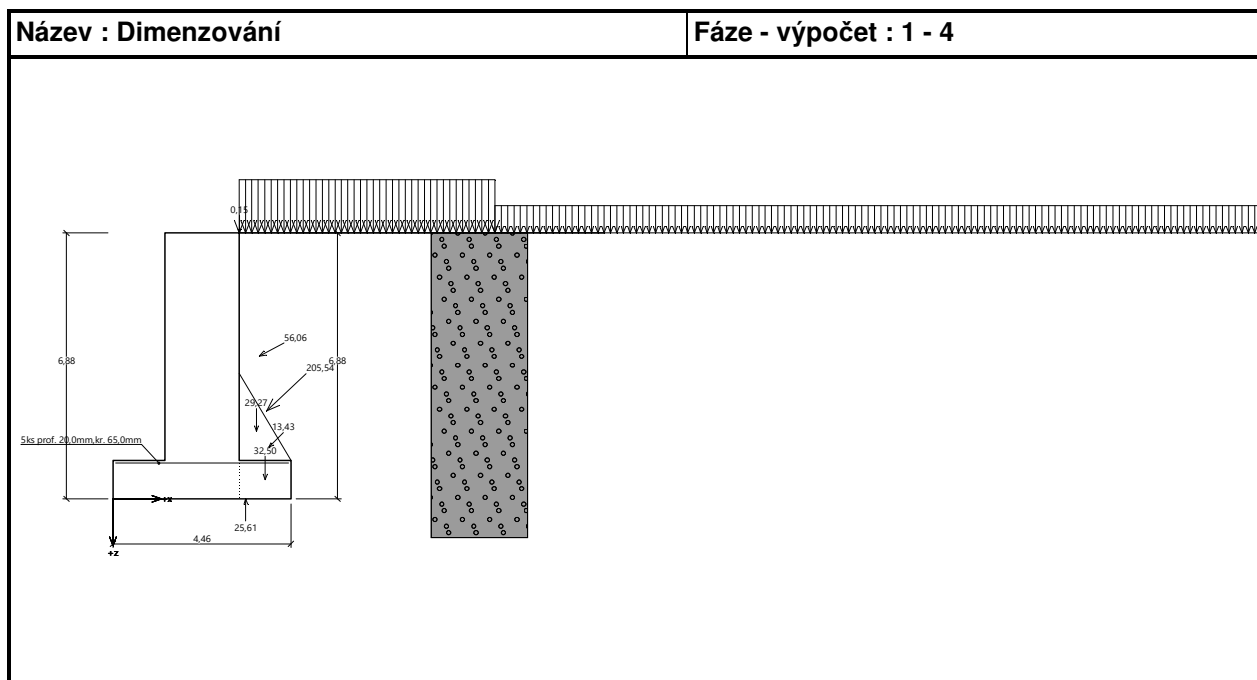
Vyztužení a rozměry průřezu

5 ks profil 20,0 mm, krytí 65,0 mm

Zadaná plocha výztuže = 1570,8 mm²Nutná plocha výztuže = 1394,9 mm²

Šířka průřezu = 1,00 m

Výška průřezu = 1,00 m

Stupeň vyztužení $\rho = 0,17 \% > 0,15 \% = \rho_{min}$ Poloha neutrálné osy $x = 0,05 \text{ m} < 0,57 \text{ m} = x_{max}$ Posouvající síla na mezi únosnosti $V_{Rd} = 314,43 \text{ kN} > 307,36 \text{ kN} = V_{Ed}$ Moment na mezi únosnosti $M_{Rd} = 618,78 \text{ kNm} > 514,39 \text{ kNm} = M_{Ed}$ **Průřez VYHOVUJE.**

4.3.3 OPĚRA 002 - ZS1**Vstupní data****Projekt**

Akce : Rekonstrukce mostu v km 42,794 trati Havlíčkův Brod - Pardubice
 Část : SO 01 Most v km 42,794
 Popis : OP2-ZS1
 Vypracoval : Ing. Petr Šedivý
 Datum : 17.01.2022

Nastavení

(zadané pro aktuální úlohu)

Materiály a normy

Betonové konstrukce : EN 1992-2
 Součinitele EN 1992-2 : uživatelské
 Článek 3.1.6 : $\alpha_{cc} = 0,90$

Výpočet zdí

Výpočet aktivního tlaku : Coulomb (ČSN 730037)
 Výpočet pasivního tlaku : Caquot-Kerisel (ČSN 730037)
 Výpočet zemětřesení : Mononobe-Okabe
 Tvar zemního klínu : počítat šikmý
 Výstupek základu : výstupek uvažovat jako šikmou základovou spáru
 Dovolená excentricita : 0,333
 Metodika posouzení : výpočet podle EN 1997
 Návrhový přístup : 2 - redukce zatížení a odporu

Součinitele redukce zatížení (F)				
Trvalá návrhová situace				
		Nepříznivé		Příznivé
Stálé zatížení :	$\gamma_G =$	1,35	[–]	1,00 [–]
Proměnné zatížení :	$\gamma_Q =$	1,50	[–]	0,00 [–]
Zatížení vodou :	$\gamma_w =$	1,35	[–]	

Součinitele redukce odporu (R)			
Trvalá návrhová situace			
Součinitel redukce odporu na překlopení :	$\gamma_{Rv} =$	1,40	[–]
Součinitel redukce odporu na posunutí :	$\gamma_{Rh} =$	1,10	[–]
Součinitel redukce odporu základové půdy :	$\gamma_{Re} =$	1,40	[–]

Kombinační součinitele pro proměnná zatížení			
Trvalá návrhová situace			
Součinitel kombinační hodnoty :	$\psi_0 =$	0,70	[-]
Součinitel časté hodnoty :	$\psi_1 =$	0,50	[-]
Součinitel kvazistálé hodnoty :	$\psi_2 =$	0,30	[-]

Materiál konstrukce

Objemová tíha $\gamma = 25,00 \text{ kN/m}^3$

Výpočet betonových konstrukcí proveden podle normy EN 1992-2.

Beton : C 30/37

Válcová pevnost v tlaku $f_{ck} = 30,00 \text{ MPa}$

Pevnost v tahu $f_{ctm} = 2,90 \text{ MPa}$

Ocel podélná : B500

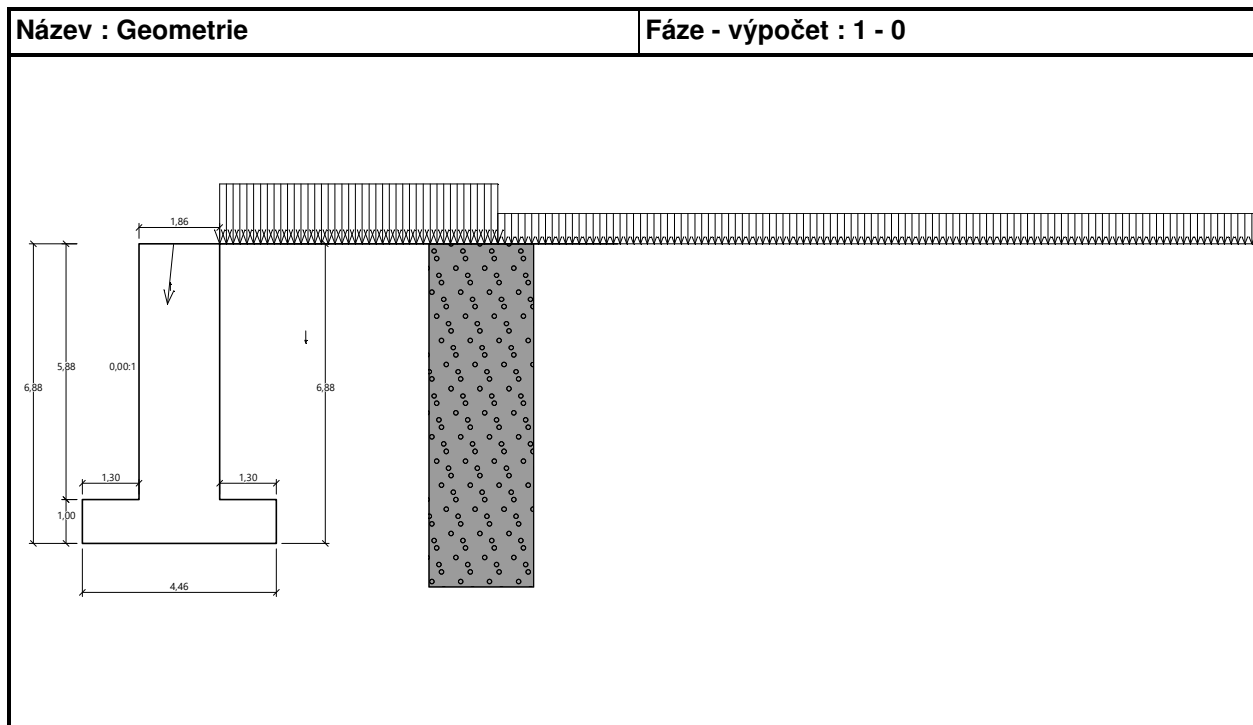
Mez kluzu $f_{yk} = 500,00 \text{ MPa}$

Geometrie konstrukce


Číslo	Pořadnice X [m]	Hloubka Z [m]
1	0,00	0,00
2	0,00	5,88
3	1,30	5,88
4	1,30	6,88
5	-3,16	6,88
6	-3,16	5,88
7	-1,86	5,88
8	-1,86	0,00

Počátek [0,0] je v nejhořejším pravém bodu zdi.

Plocha řezu zdi = 15,40 m².



Základní parametry zemín

Číslo	Název	Vzorek	φ_{ef} [°]	c_{ef} [kPa]	γ [kN/m ³]	γ_{su} [kN/m ³]	δ [°]
1	Zásyp		30,00	0,00	20,00	10,00	15,00

Pro výpočet tlaku v klidu jsou všechny zeminy zadány jako nesoudržné.

Parametry zemín

Zásyp

Objemová tíha : $\gamma = 20,00 \text{ kN/m}^3$

Napjatost : efektivní

Úhel vnitřního tření : $\varphi_{ef} = 30,00^\circ$

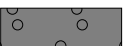
Soudržnost zeminy : $c_{ef} = 0,00 \text{ kPa}$

Třecí úhel kce-zemina : $\delta = 15,00^\circ$

Zemina : nesoudržná

Obj.tíha sat.zeminy : $\gamma_{sat} = 20,00 \text{ kN/m}^3$

Geologický profil a přiřazení zemín

Číslo	Mocnost vrstvy t [m]	Hloubka z [m]	Přiřazená zemina	Vzorek
1	-	0,00 .. ∞	Zásyp	

Založení

Typ založení : zemina - geologický profil

Tvar terénu

Terén za konstrukcí je rovný.

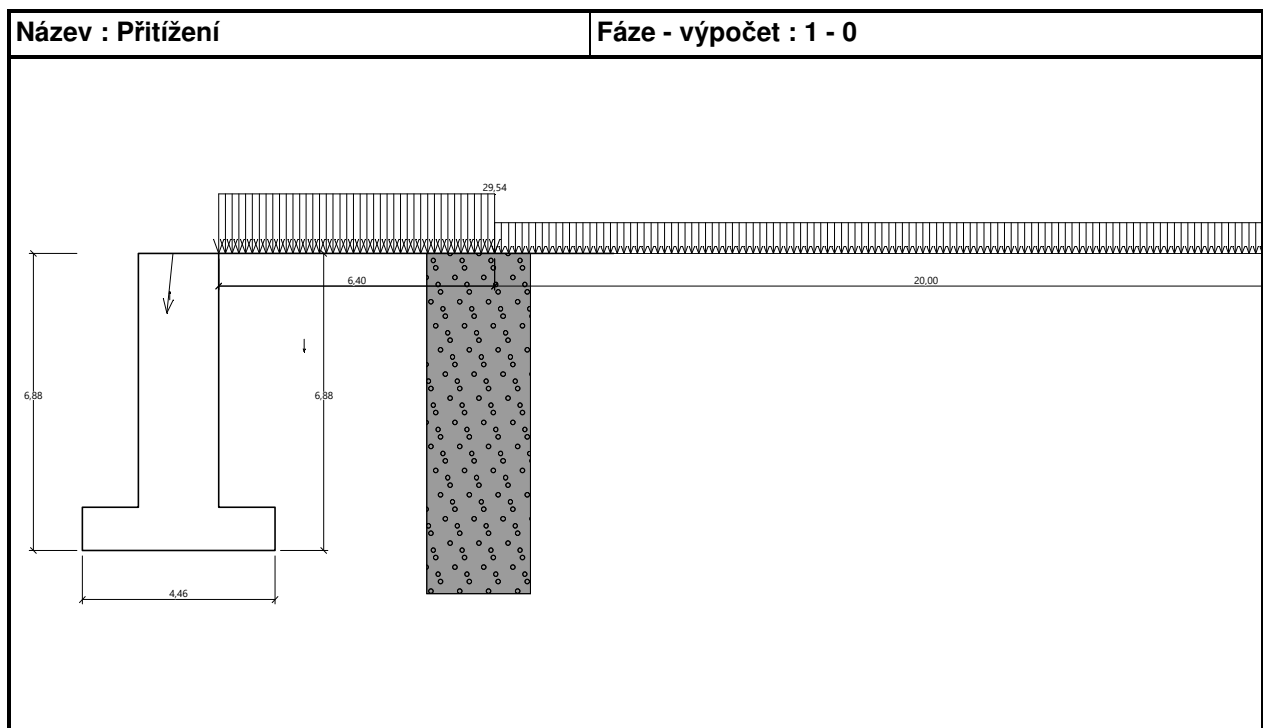
Vliv vody

Hladina podzemní vody je pod úrovní konstrukce.

Zadaná plošná přitížení

Číslo	Přítížení		Působ.	Vel.1 [kN/m ²]	Vel.2 [kN/m ²]	Poř.x x [m]	Délka l [m]	Hloubka z [m]
	nové	změna						
1	Ano		proměnné	29,54		0,00	6,40	na terénu
2	Ano		proměnné	15,12		6,40	20,00	na terénu

Číslo	Název
1	LM71-roznesená břemena
2	LM71-rovnomořné

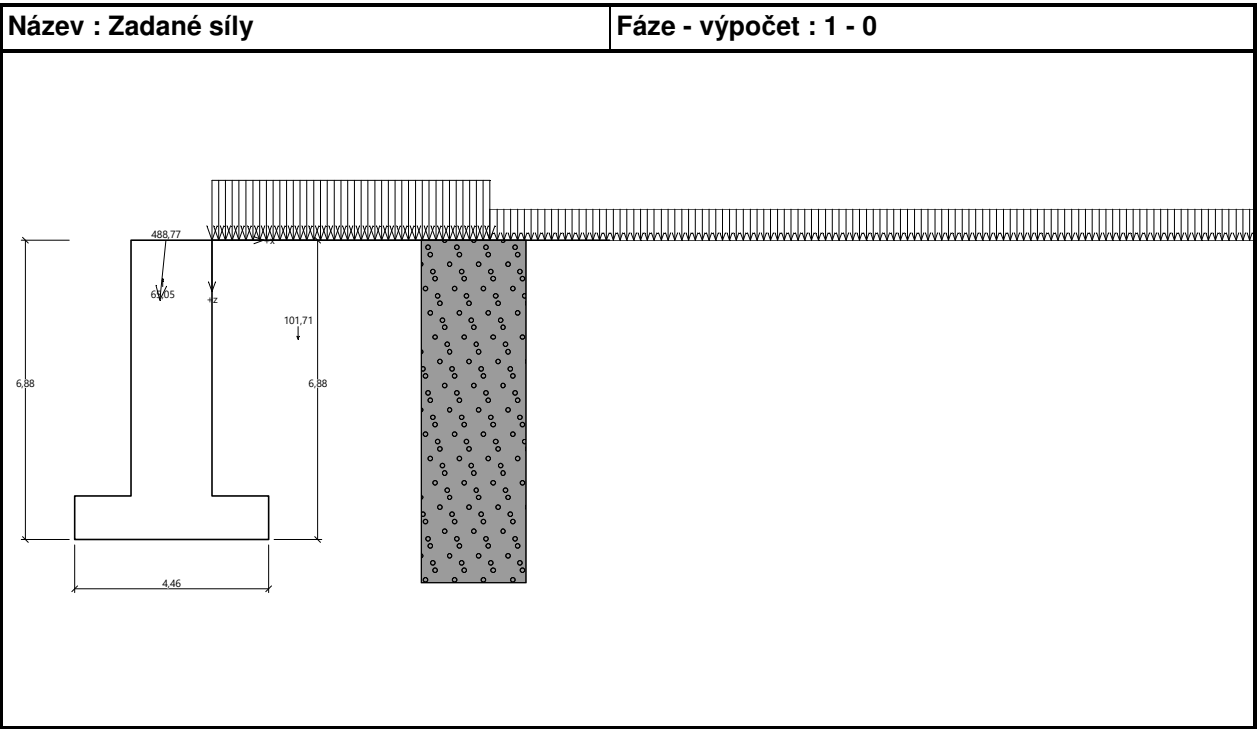


Odpor na líci konstrukce

Odpor na líci konstrukce není uvažován.

Zadané síly působící na konstrukci

Číslo	Síla		Název	Působ.	F _x [kN/m]	F _z [kN/m]	M [kNm/m]	x [m]	z [m]
	nová	změna							
1	Ano		Odečet g0	stálé	0,00	-65,05	0,00	-1,13	0,89
2	Ano		Reakce od NK	stálé	-50,93	486,11	0,00	-1,20	1,38
3	Ano		Křídlo	stálé	0,00	101,71	0,00	1,98	2,28



Nastavení výpočtu fáze

Návrhová situace : trvalá
Zed' se může přemístit, je počítána na zatížení aktivním tlakem.

Posouzení dříku**Spočtené síly působící na konstrukci**

Název	F_{hor} [kN/m]	Působíště z [m]	F_{vert} [kN/m]	Působíště x [m]	Koef. moment	Koef. norm.sila	Koef. pos.sila
Tíh.- zeď	0,00	-2,94	273,36	0,93	1,000	1,350	1,000
Tlak v klidu	172,80	-1,96	0,00	1,86	1,350	1,000	1,350
LM71-roznesená břemena	70,38	-3,27	0,00	1,86	1,500	0,000	1,500
LM71-rovnorné	29,54	-2,18	0,00	1,86	1,500	0,000	1,500
Odečet g_0	0,00	-4,99	-65,05	0,73	1,000	1,000	1,000
Reakce od NK	50,93	-4,50	486,11	0,66	1,350	1,350	1,350

Posouzení dříku - zadní výztuž

Posouzení zdi v pracovní spáře 5,88 m od koruny zdi

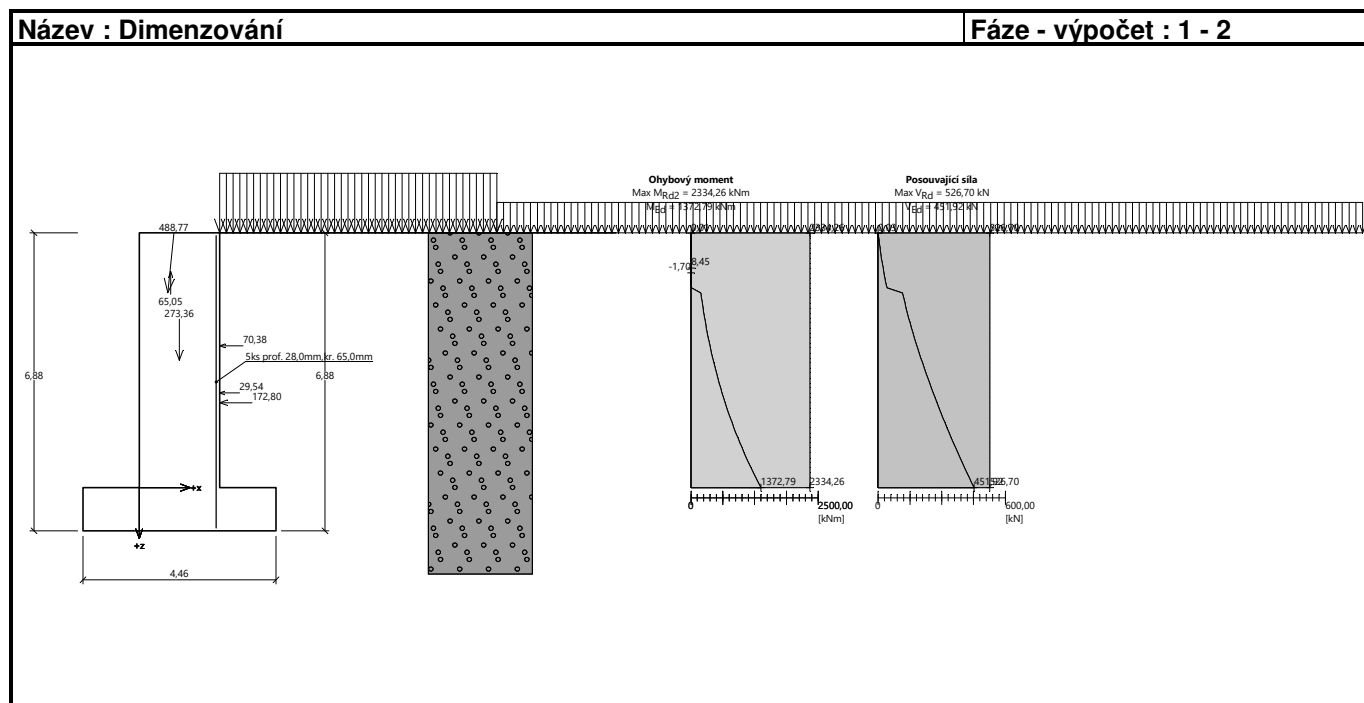
Vyztužení a rozměry průřezu

5 ks profil 28,0 mm, krytí 65,0 mm

Zadaná plocha výztuže = 3078,8 mm²Nutná plocha výztuže = 2685,7 mm²

Šířka průřezu = 1,00 m

Výška průřezu = 1,86 m

Stupeň vyztužení $\rho = 0,17 \% > 0,15 \% = \rho_{min}$ Poloha neutrálné osy $x = 0,09 \text{ m} < 1,10 \text{ m} = x_{max}$ Posouvající síla na mezi únosnosti $V_{Rd} = 526,70 \text{ kN} > 451,92 \text{ kN} = V_{Ed}$ Moment na mezi únosnosti $M_{Rd} = 2334,26 \text{ kNm} > 1372,79 \text{ kNm} = M_{Ed}$ **Průřez VYHOVUJE.**

Posouzení výstupku**Spočtené síly působící na konstrukci**

Název	F_{hor} [kN/m]	Působíště z [m]	F_{vert} [kN/m]	Působíště x [m]	Výpočtový koeficient
Tíh.- zed'	0,00	-2,94	384,92	2,23	1,350
Tíh.- zemní klín	0,00	-1,75	29,27	3,59	1,350
Aktivní tlak	146,84	-2,28	143,83	3,85	1,350
LM71-roznesená břemena	49,06	-3,69	27,14	3,67	1,500
LM71-rovnoměrné	9,33	-1,34	9,66	3,91	1,500
Odečet g_0	0,00	-5,99	-65,05	2,03	1,000
Reakce od NK	50,93	-5,50	486,11	1,96	1,350
Křídlo	0,00	-4,60	101,71	5,14	1,350

Posouzení výstupku

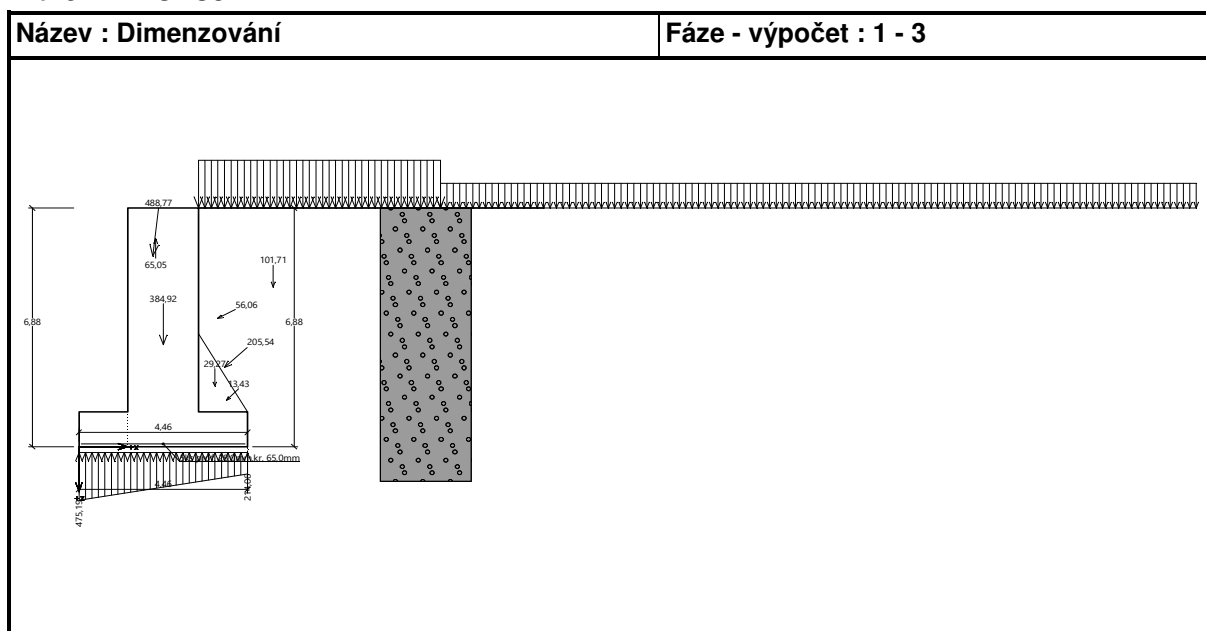
Vyztužení a rozměry průřezu

5 ks profil 32,0 mm, krytí 65,0 mm

Zadaná plocha výztuže = 4021,2 mm²Nutná plocha výztuže = 2725,2 mm²

Šířka průřezu = 1,00 m

Výška průřezu = 1,00 m

Stupeň vyztužení $\rho = 0,44 \% > 0,15 \% = \rho_{min}$ Poloha neutrálné osy $x = 0,12 \text{ m} < 0,57 \text{ m} = x_{max}$ Moment na mezi únosnosti $M_{Rd} = 1521,84 \text{ kNm} > 1049,89 \text{ kNm} = M_{Ed}$ Průřez musí být vyztužen kolmými třmínky o ploše nejméně 594,7 mm²/m nebo ekvivalentními ohyby.**Průřez VYHOVUJE.**

Posouzení paty**Spočtené síly působící na konstrukci**

Název	F_{hor} [kN/m]	Působíště z [m]	F_{vert} [kN/m]	Působíště x [m]	Výpočtový koeficient
Tíh.- zed'	0,00	-0,50	32,50	3,81	1,350
Tíh.- zemní klín	0,00	-1,75	29,27	3,59	1,350
Aktivní tlak	146,84	-2,28	143,83	3,85	1,350
LM71-roznesená břemena	49,06	-3,69	27,14	3,67	1,500
LM71-rovnorné	9,33	-1,34	9,66	3,91	1,500
Kontaktní napětí	0,00	0,00	-327,75	3,78	1,000
Tíhová přít.1	0,00	-6,88	0,15	3,16	1,500

Posouzení paty

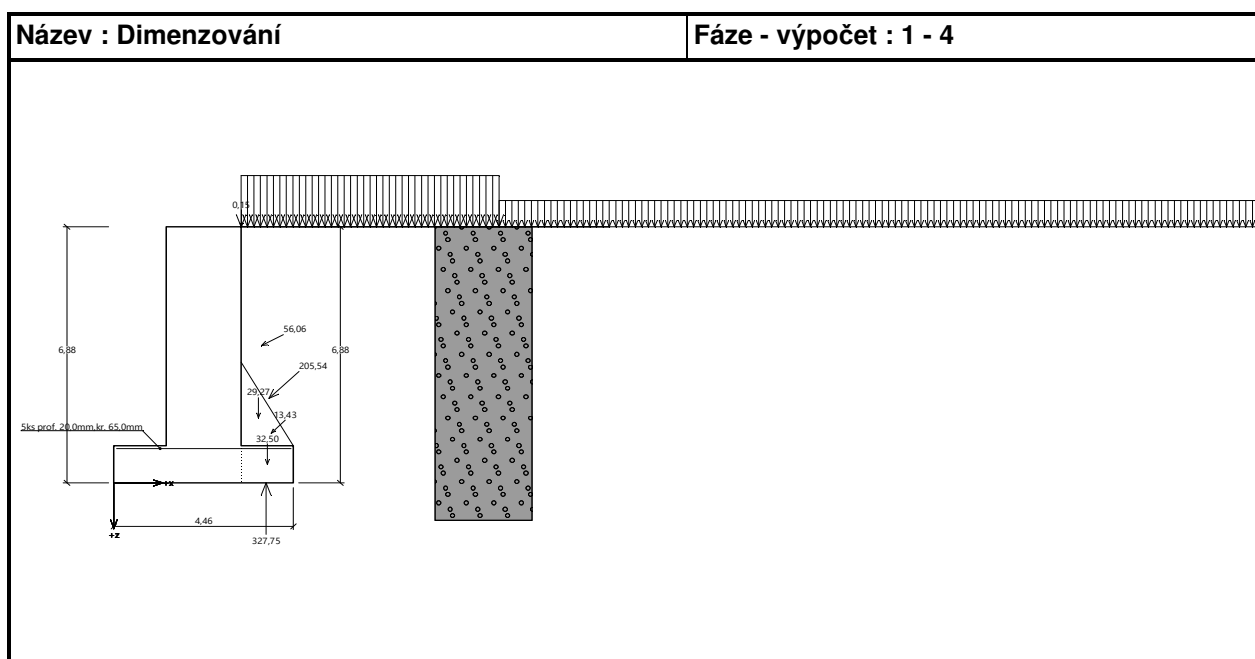
Vyztužení a rozměry průřezu

5 ks profil 20,0 mm, krytí 65,0 mm

Zadaná plocha výztuže = 1570,8 mm²Nutná plocha výztuže = 1394,9 mm²

Šířka průřezu = 1,00 m

Výška průřezu = 1,00 m

Stupeň vyztužení $\rho = 0,17 \% > 0,15 \% = \rho_{min}$ Poloha neutrálné osy $x = 0,05 \text{ m} < 0,57 \text{ m} = x_{max}$ Posouvající síla na mezi únosnosti $V_{Rd} = 314,43 \text{ kN} > 5,22 \text{ kN} = V_{Ed}$ Moment na mezi únosnosti $M_{Rd} = 618,78 \text{ kNm} > 26,92 \text{ kNm} = M_{Ed}$ **Průřez VYHOVUJE.**

4.3.4 OPĚRA 002 – ZS2**Vstupní data****Projekt**

Akce : Rekonstrukce mostu v km 42,794 trati Havlíčkův Brod - Pardubice
 Část : SO 01 Most v km 42,794
 Popis : OP2-ZS2
 Vypracoval : Ing. Petr Šedivý
 Datum : 17. 1. 2022

Nastavení

(zadané pro aktuální úlohu)

Materiály a normy

Betonové konstrukce : EN 1992-2
 Součinitele EN 1992-2 : uživatelské
 Článek 3.1.6 : $\alpha_{cc} = 0,90$

Výpočet zdí

Výpočet aktivního tlaku : Coulomb (ČSN 730037)
 Výpočet pasivního tlaku : Caquot-Kerisel (ČSN 730037)
 Výpočet zemětřesení : Mononobe-Okabe
 Tvar zemního klínu : počítat šikmý
 Výstupek základu : výstupek uvažovat jako šikmou základovou spáru
 Dovolená excentricita : 0,333
 Metodika posouzení : výpočet podle EN 1997
 Návrhový přístup : 2 - redukce zatížení a odporu

Součinitele redukce zatížení (F)				
Trvalá návrhová situace				
		Nepříznivé		Příznivé
Stálé zatížení :	$\gamma_G =$	1,35	[–]	1,00 [–]
Proměnné zatížení :	$\gamma_Q =$	1,50	[–]	0,00 [–]
Zatížení vodou :	$\gamma_w =$	1,35	[–]	

Součinitele redukce odporu (R)			
Trvalá návrhová situace			
Součinitel redukce odporu na překlopení :	$\gamma_{Rv} =$	1,40	[–]
Součinitel redukce odporu na posunutí :	$\gamma_{Rh} =$	1,10	[–]
Součinitel redukce odporu základové půdy :	$\gamma_{Re} =$	1,40	[–]

Kombinační součinitele pro proměnná zatížení			
Trvalá návrhová situace			
Součinitel kombinační hodnoty :	$\psi_0 =$	0,70	[-]
Součinitel časté hodnoty :	$\psi_1 =$	0,50	[-]
Součinitel kvazistálé hodnoty :	$\psi_2 =$	0,30	[-]

Materiál konstrukce

Objemová tíha $\gamma = 25,00 \text{ kN/m}^3$

Výpočet betonových konstrukcí proveden podle normy EN 1992-2.

Beton : C 30/37

Válcová pevnost v tlaku $f_{ck} = 30,00 \text{ MPa}$

Pevnost v tahu $f_{ctm} = 2,90 \text{ MPa}$

Ocel podélná : B500

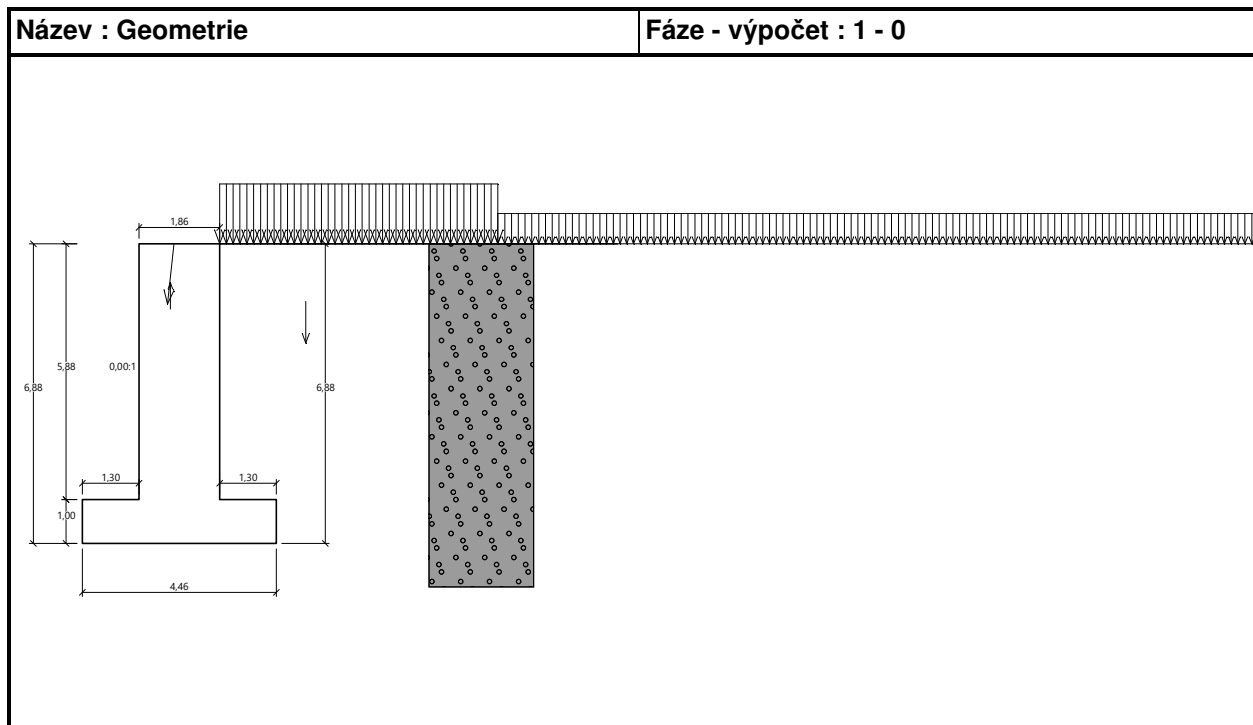
Mez kluzu $f_{yk} = 500,00 \text{ MPa}$

Geometrie konstrukce

Číslo	Pořadnice X [m]	Hloubka Z [m]
1	0,00	0,00
2	0,00	5,88
3	1,30	5,88
4	1,30	6,88
5	-3,16	6,88
6	-3,16	5,88
7	-1,86	5,88
8	-1,86	0,00

Počátek [0,0] je v nejhořejším pravém bodu zdi.

Plocha řezu zdi = 15,40 m².



Základní parametry zemín

Číslo	Název	Vzorek	φ_{ef} [°]	c_{ef} [kPa]	γ [kN/m ³]	γ_{su} [kN/m ³]	δ [°]
1	Zásyp		30,00	0,00	20,00	10,00	15,00

Pro výpočet tlaku v klidu jsou všechny zeminy zadány jako nesoudržné.

Parametry zemín

Zásyp

Objemová tíha : $\gamma = 20,00 \text{ kN/m}^3$

Napjatost : efektivní

Úhel vnitřního tření : $\varphi_{ef} = 30,00^\circ$

Soudržnost zeminy : $c_{ef} = 0,00 \text{ kPa}$

Třecí úhel ke-zemina : $\delta = 15,00^\circ$

Zemina : nesoudržná

Obj.tíha sat.zeminy : $\gamma_{sat} = 20,00 \text{ kN/m}^3$

Geologický profil a přiřazení zemín

Číslo	Mocnost vrstvy t [m]	Hloubka z [m]	Přiřazená zemina	Vzorek
1	-	0,00 .. ∞	Zásyp	

Založení

Typ založení : zemina - geologický profil

Tvar terénu

Terén za konstrukcí je rovný.

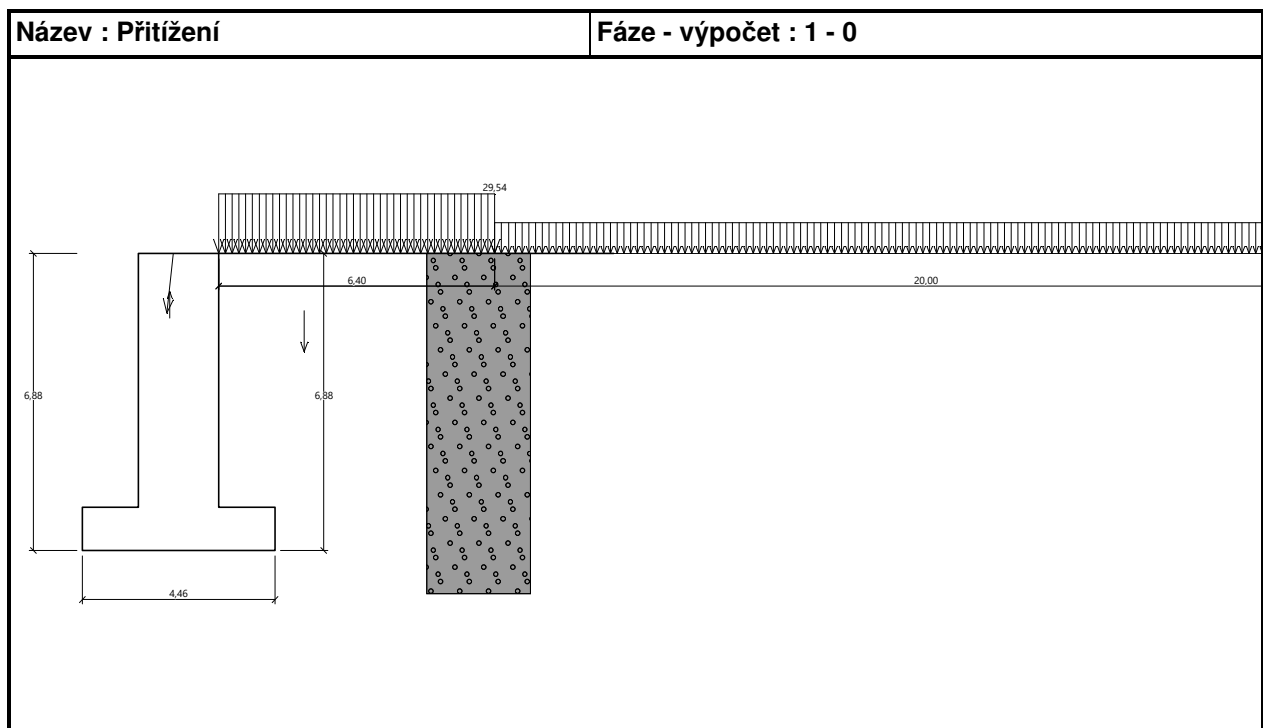
Vliv vody

Hladina podzemní vody je pod úrovní konstrukce.

Zadaná plošná přitížení

Číslo	Přítížení		Působ.	Vel.1 [kN/m ²]	Vel.2 [kN/m ²]	Poř.x x [m]	Délka l [m]	Hloubka z [m]
	nové	změna						
1	Ano		proměnné	29,54		0,00	6,40	na terénu
2	Ano		proměnné	15,12		6,40	20,00	na terénu

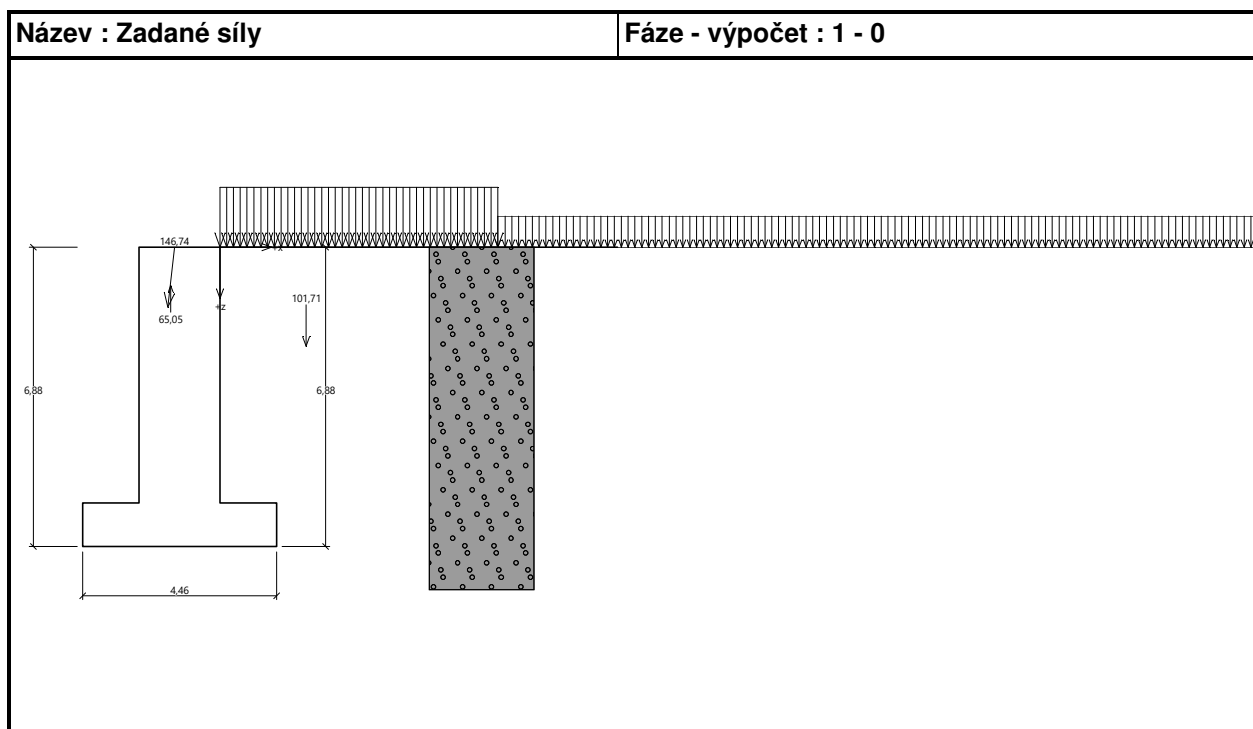
Číslo	Název
1	LM71-roznesená břemena
2	LM71-rovnomořné



Odpor na líci konstrukce

Odpor na líci konstrukce není uvažován.

Číslo	Síla		Název	Působ.	F _x	F _z	M	x	z
	nová	změna			[kN/m]	[kN/m]	[kNm/m]	[m]	[m]
1	Ano		Odečet g0	stálé	0,00	-65,05	0,00	-1,13	0,89
2	Ano		Reakce od NK	stálé	-16,21	145,84	0,00	-1,20	1,38
3	Ano		Křídlo	stálé	0,00	101,71	0,00	1,98	2,28



Zed' se může přemístit, je počítána na zatížení aktivním tlakem.

Posouzení dříku**Spočtené síly působící na konstrukci**

Název	F_{hor} [kN/m]	Působíště z [m]	F_{vert} [kN/m]	Působíště x [m]	Koef. moment	Koef. norm.sila	Koef. pos.sila
Tíh.- zeď	0,00	-2,94	273,36	0,93	1,000	1,350	1,000
Tlak v klidu	172,80	-1,96	0,00	1,86	1,350	1,000	1,350
LM71-roznesená břemena	70,38	-3,27	0,00	1,86	1,500	0,000	1,500
LM71-rovnorné	29,54	-2,18	0,00	1,86	1,500	0,000	1,500
Odečet g0	0,00	-4,99	-65,05	0,73	1,000	1,000	1,000
Reakce od NK	16,21	-4,50	145,84	0,66	1,350	1,350	1,350

Posouzení dříku - zadní výztuž

Posouzení zdi v pracovní spáře 5,88 m od koruny zdi

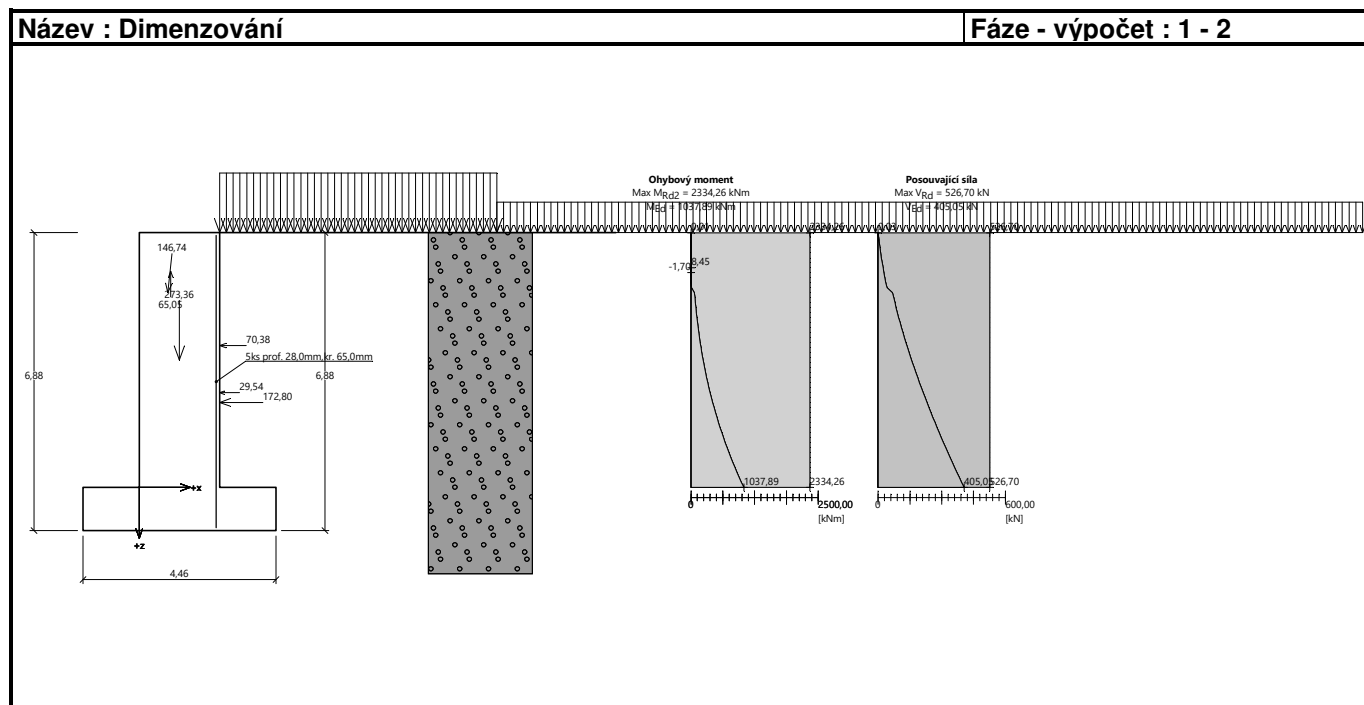
Vyztužení a rozměry průřezu

5 ks profil 28,0 mm, krytí 65,0 mm

Zadaná plocha výztuže = 3078,8 mm²Nutná plocha výztuže = 2685,7 mm²

Šířka průřezu = 1,00 m

Výška průřezu = 1,86 m

Stupeň vyztužení $\rho = 0,17 \% > 0,15 \% = \rho_{min}$ Poloha neutrálné osy $x = 0,09 \text{ m} < 1,10 \text{ m} = x_{max}$ Posouvající síla na mezi únosnosti $V_{Rd} = 526,70 \text{ kN} > 405,05 \text{ kN} = V_{Ed}$ Moment na mezi únosnosti $M_{Rd} = 2334,26 \text{ kNm} > 1037,89 \text{ kNm} = M_{Ed}$ **Průřez VYHOVUJE.**

Posouzení výstupku**Spočtené síly působící na konstrukci**

Název	F_{hor} [kN/m]	Působíště z [m]	F_{vert} [kN/m]	Působíště x [m]	Výpočtový koeficient
Tíh.- zed'	0,00	-2,94	384,92	2,23	1,350
Tíh.- zemní klín	0,00	-1,75	29,27	3,59	1,350
Aktivní tlak	146,84	-2,28	143,83	3,85	1,350
LM71-roznesená břemena	49,06	-3,69	27,14	3,67	1,500
LM71-rovnorné	9,33	-1,34	9,66	3,91	1,500
Odečet g0	0,00	-5,99	-65,05	2,03	1,000
Reakce od NK	16,21	-5,50	145,84	1,96	1,350
Křídlo	0,00	-4,60	101,71	5,14	1,350

Posouzení výstupku

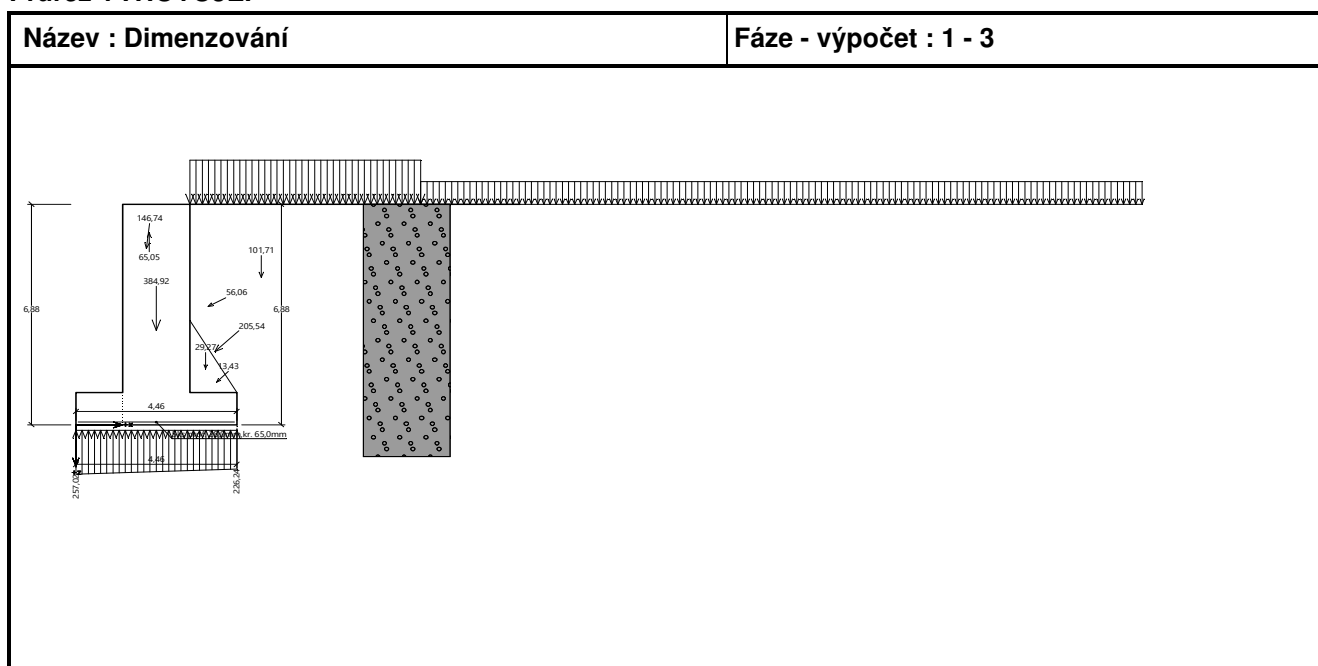
Vyztužení a rozměry průřezu

5 ks profil 32,0 mm, krytí 65,0 mm

Zadaná plocha výztuže = 4021,2 mm²Nutná plocha výztuže = 1740,0 mm²

Šířka průřezu = 1,00 m

Výška průřezu = 1,00 m

Stupeň vyztužení $\rho = 0,44 \% > 0,15 \% = \rho_{min}$ Poloha neutrálné osy $x = 0,12 \text{ m} < 0,57 \text{ m} = x_{max}$ Posouvající síla na mezi únosnosti $V_{Rd} = 381,51 \text{ kN} > 295,79 \text{ kN} = V_{Ed}$ Moment na mezi únosnosti $M_{Rd} = 1521,84 \text{ kNm} > 679,34 \text{ kNm} = M_{Ed}$ **Průřez VYHOVUJE.**

4.4 STANOVENÍ ZATÍŽITELNOSTI

Stanovení zatížitelnosti dříku a základu opěry provedeno iteračně – v programu GEO5 bylo postupně zvyšováno zatížení od modelu zatížení LM71 až do dosažení 100% využití jednotlivých průřezů.

4.4.1 DŘÍK OPĚRY

Rozhoduje opěra 001 – ZS1.

Iteračně stanovený součinitel zvětšení zatížení $c = 1,058$

Spočtené síly působící na konstrukci pro $\alpha = 1,21$

Název	F_{hor} [kN/m]	Působíště z [m]	F_{vert} [kN/m]	Působíště x [m]	Koef. moment	Koef. norm.sila	Koef. pos.sila
Tíh.- zeď	0,00	-2,94	273,36	0,93	1,000	1,350	1,000
Tlak v klidu	172,80	-1,96	0,00	1,86	1,350	1,000	1,350
LM71-roznesená břemena	70,38	-3,27	0,00	1,86	1,500	0,000	1,500
LM71-rovnorné	29,54	-2,18	0,00	1,86	1,500	0,000	1,500
Odečet g_0	0,00	-4,99	-65,05	0,73	1,000	1,000	1,000
Reakce od NK	192,13	-4,50	486,11	0,66	1,350	1,350	1,350

Spočtené síly působící na konstrukci pro $Z_{LM71} = c \cdot \alpha = 1,21 \cdot 1,058 = 1,280$

Název	F_{hor} [kN/m]	Působíště z [m]	F_{vert} [kN/m]	Působíště x [m]	Koef. moment	Koef. norm.sila	Koef. pos.sila
Tíh.- zeď	0,00	-2,94	273,36	0,93	1,000	1,350	1,000
Tlak v klidu	172,80	-1,96	0,00	1,86	1,350	1,000	1,350
LM71-roznesená břemena	74,46	-3,27	0,00	1,86	1,500	0,000	1,500
LM71-rovnorné	31,26	-2,18	0,00	1,86	1,500	0,000	1,500
Odečet g_0	0,00	-4,99	-65,05	0,73	1,000	1,000	1,000
Reakce od NK	203,27	-4,50	514,30	0,66	1,350	1,350	1,350

Posouzení dříku - zadní výztuž

Posouzení zdi v pracovní spáře 5,88 m od koruny zdi

Vyztužení a rozměry průřezu

5 ks profil 28,0 mm, krytí 65,0 mm

Zadaná plocha výztuže = 3078,8 mm²

Nutná plocha výztuže = 3078,3 mm²

Šířka průřezu = 1,00 m

Výška průřezu = 1,86 m

Stupeň vyztužení $\rho = 0,17 \% > 0,15 \% = \rho_{min}$

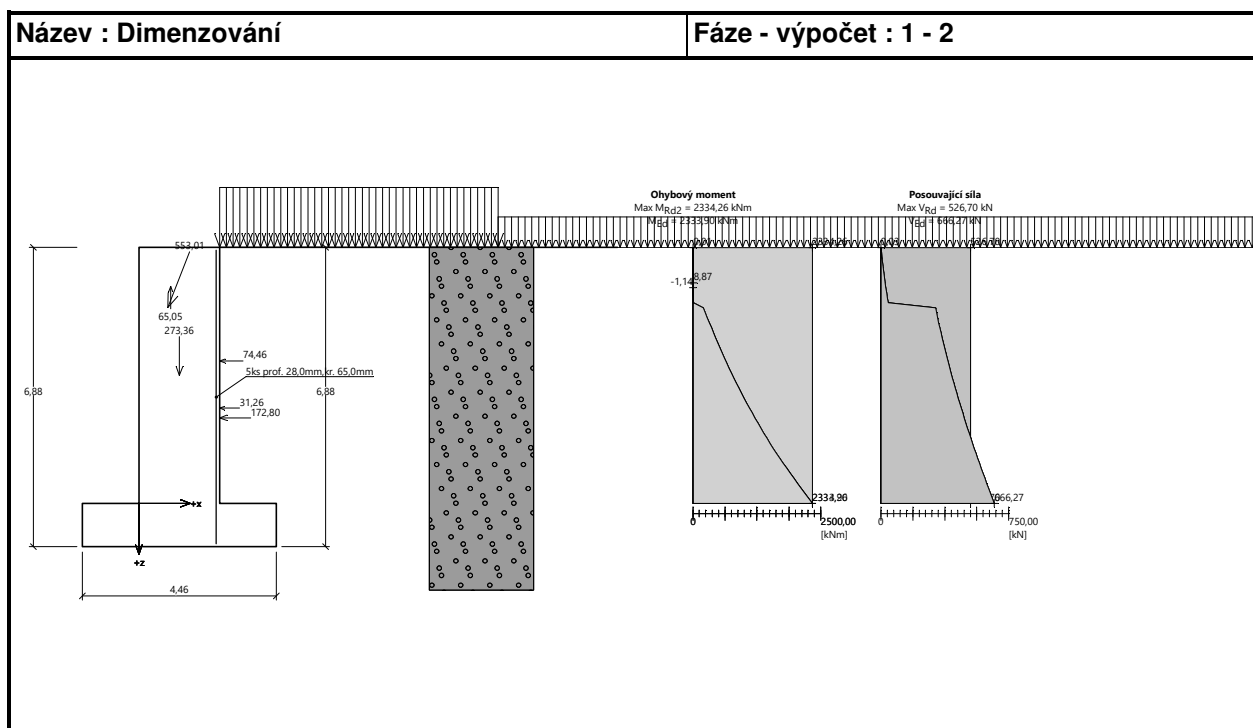
Poloha neutrálné osy $x = 0,09 m < 1,10 m = x_{max}$

Moment na mezi únosnosti $M_{Rd} = 2334,26 kNm > 2333,90 kNm = M_{Ed}$

Využití průřezu $2333,90/2334,26 = 1,000$

Průřez musí být vyztužen kolmými třmínky o ploše nejméně 382,4 mm²/m nebo ekvivalentními ohyby.

Průřez VYHOVUJE.



Stanovená zatížitelnost dříku opěry $Z_{LM71} = \underline{1,280}$

4.4.2 ZÁKLAD OPĚRY

Rozhoduje opěra 001 – ZS1 – posouzení základového výstupku.

Iteračně stanovený součinitel zvětšení zatížení $c = 1,055$

Spočtené síly působící na konstrukci pro $\alpha = 1,21$

Název	F_{hor} [kN/m]	Působíště z [m]	F_{vert} [kN/m]	Působíště x [m]	Výpočtový koeficient
Tíh.- zeď	0,00	-2,94	384,92	2,23	1,350
Tíh.- zemní klín	0,00	-1,75	29,27	3,59	1,350
Aktivní tlak	146,84	-2,28	143,83	3,85	1,350
LM71-roznesená břemena	49,06	-3,69	27,14	3,67	1,500
LM71-rovnorné	9,33	-1,34	9,66	3,91	1,500
Odečet g_0	0,00	-5,99	-65,05	2,03	1,000
Reakce od NK	192,13	-5,50	486,11	1,96	1,350
Křídlo	0,00	-4,60	101,71	5,14	1,350

Spočtené síly působící na konstrukci pro $Z_{LM71} = c \cdot \alpha = 1,21 \cdot 1,055 = 1,277$

Název	F_{hor} [kN/m]	Působíště z [m]	F_{vert} [kN/m]	Působíště x [m]	Výpočtový koeficient
Tíh.- zeď	0,00	-2,94	384,92	2,23	1,350
Tíh.- zemní klín	0,00	-1,75	29,27	3,59	1,350

Název	F_{hor} [kN/m]	Působíště z [m]	F_{vert} [kN/m]	Působíště x [m]	Výpočtový koeficient
Aktivní tlak	146,84	-2,28	143,83	3,85	1,350
LM71-roznesená břemena	51,75	-3,69	28,63	3,67	1,500
LM71-rovnorné	9,84	-1,34	10,19	3,91	1,500
Odečet g_0	0,00	-5,99	-65,05	2,03	1,000
Reakce od NK	202,70	-5,50	512,85	1,96	1,350
Křídlo	0,00	-4,60	101,71	5,14	1,350

Posouzení výstupku

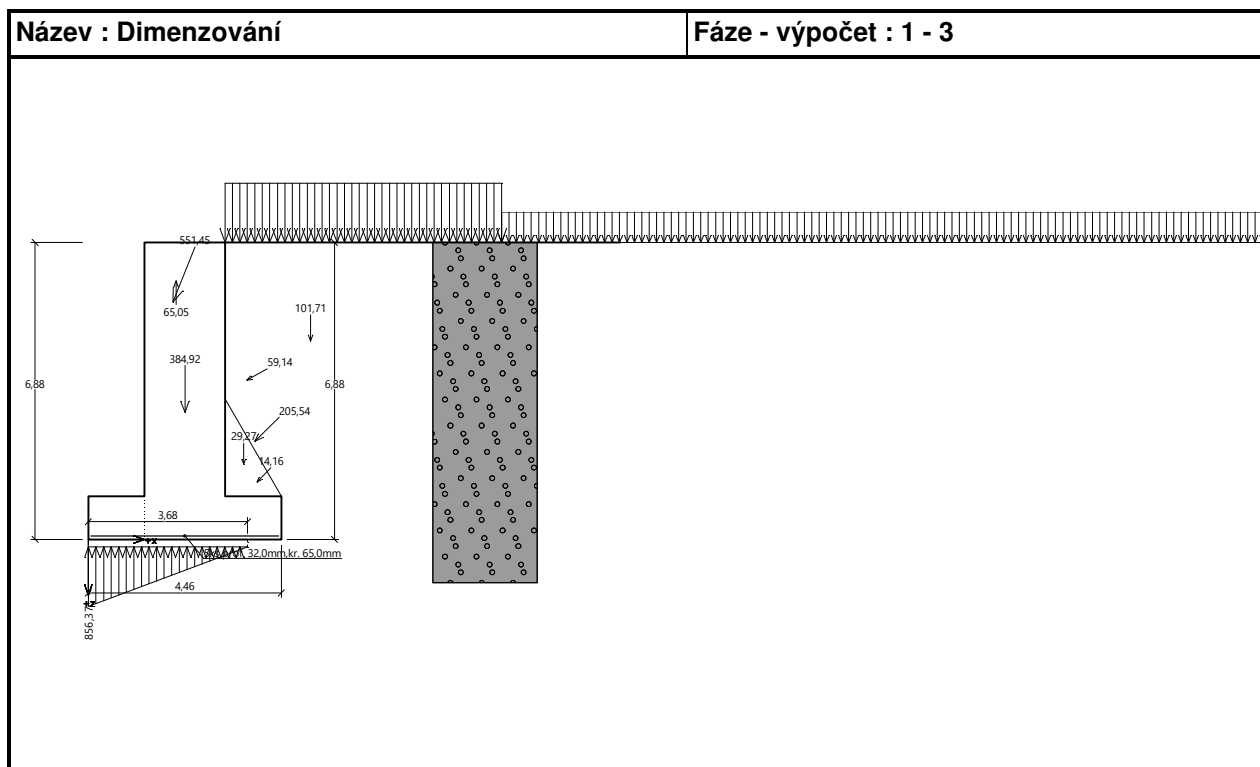
Vyztužení a rozměry průřezu

5 ks profil 32,0 mm, krytí 65,0 mm

Zadaná plocha výztuže = 4021,2 mm²Nutná plocha výztuže = 4018,2 mm²

Šířka průřezu = 1,00 m

Výška průřezu = 1,00 m

Stupeň vyztužení $\rho = 0,44 \% > 0,15 \% = \rho_{min}$ Poloha neutrální osy $x = 0,12 \text{ m} < 0,57 \text{ m} = x_{max}$ Moment na mezi únosnosti $M_{Rd} = 1521,84 \text{ kNm} > 1520,75 \text{ kNm} = M_{Ed}$ Využití průřezu $1520,75/1521,84 = 0,999$ Průřez musí být vyztužen kolmými třmínky o ploše nejméně 983,5 mm²/m nebo ekvivalentními ohyby.**Průřez VYHOVUJE.**

Stanovená zatížitelnost základu opěry

 $Z_{LM71} = 1,277$

5 ÚLOŽNÝ PRAH

5.1 PŘEDPOKLADY PRO NÁVRH A POSOUZENÍ

Byla navržena podélná výztuž úložného prahu metodou příhradové analogie (SaT) podle ČSN EN 1992 a posouzena podložisková oblast na soustředěné namáhání.

5.2 ZATÍŽENÍ

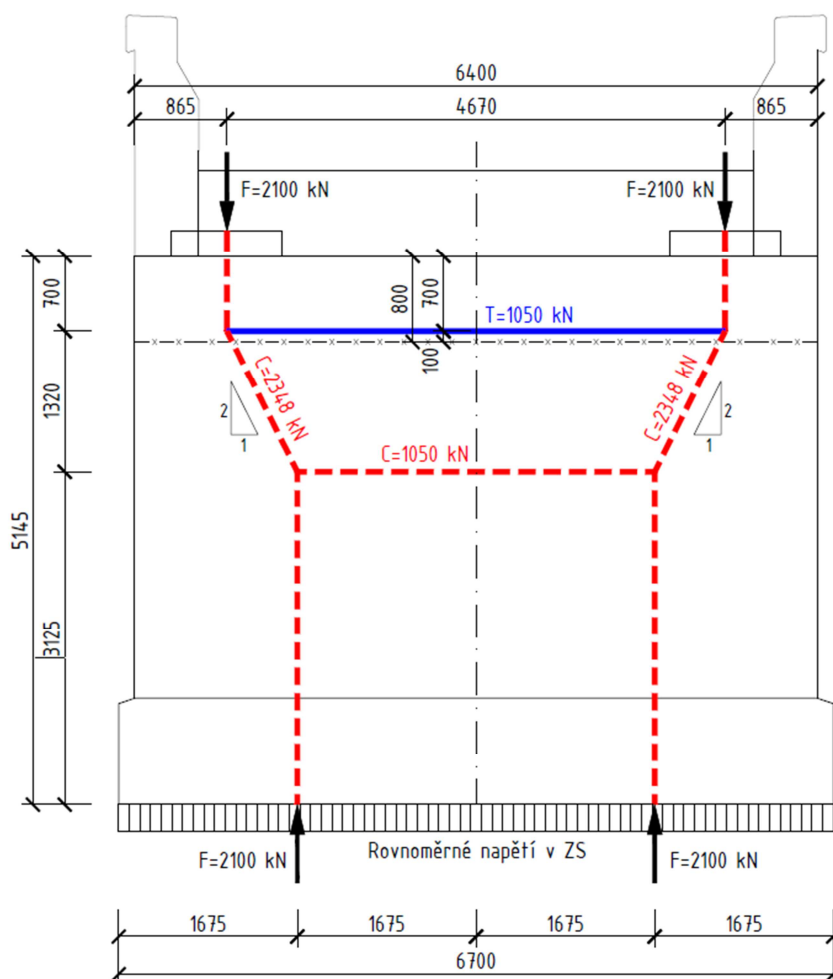
Úložný práh je zatížen reakcemi od nosné konstrukce mostu. Reakce na ložiska byly převzaty ze Statického výpočtu NK mostu.

Reakce od NK pro výpočet úložného prahu:

- | | | |
|------------------------------|---------------------------------|--------------------------------|
| • návrhová kombinace – ZS1 | $F_{Ed,MSÚ} = 2100 \text{ kN}$ | $H_{Ed,MSÚ} = 830 \text{ kN}$ |
| • návrhová kombinace – ZS2 | $F_{Ed,MSÚ} = 1570 \text{ kN}$ | $H_{Ed,MSÚ} = 800 \text{ kN}$ |
| • charakteristická kombinace | $F_{Ed,CHAR} = 1550 \text{ kN}$ | $H_{Ed,CHAR} = 600 \text{ kN}$ |

5.3 PODÉLNÁ VÝZTUŽ ÚLOŽNÉHO PRAHU

5.3.1 NÁVRH VÝZTUŽE



obr. 1 Určení síly ve výztuži metodou příhradové analogie (SaT)

Posouzení navržené výztuže

- maximální napětí ve výztuži uvažováno s ohledem na omezení trhlin hodnotou $\sigma_d = 300 \text{ MPa}$
- minimální plocha výztuže $A_{st,min} = T/\sigma_d = 1000 \cdot 1050/300 = 3500 \text{ mm}^2$
- navržená výztuž – 12xØ20 mm $A_{st} = 12 \cdot 314 = 3770 \text{ mm}^2 \geq A_{st,min} = 3500 \text{ mm}^2$

5.4 POSOUZENÍ KONSTRUKČNÍCH ZÁSAD

Prvek		Úl. práh	Popis
Průřez			
b_t	mm	1865	průměrná šířka tahové oblasti průřezu
h	mm	800	výška průřezu
Materiály a součinitele			
beton		C30/37	třída betonu
f_{ck}	MPa	30	charakteristická pevnost betonu v tlaku
f_{ctm}	MPa	2.9	průměrná hodnota pevnosti betonu v tahu
f_{yk}	MPa	500	mez kluzu betonářské výztuže
Nosná výztuž			
$\varnothing_{s,t}$	mm	20	průměr prutů tahové betonářské výztuže
$n_{s,t}$	ks	12	počet prutů tahové betonářské výztuže
$A_{s,t}$	mm ²	3770	plocha tahové betonářské výztuže
d_1	mm	80	vzdálenost těžiště tahové betonářské výztuže k taženým vláknům
d	mm	720	vzdálenost těžiště tahové betonářské výztuže k tláčeným vláknům
Minimální plocha nosné výztuže dle ČSN EN 1992-1-1, čl. 9.2.1.1			
$A_{s,t}$	mm ²	3770	plocha tahové výztuže
$A_{s,t,min}$	mm ²	2025	minimální plocha tahové výztuže
$A_{s,t,min} \leq A_{s,t}$		OK	posouzení

Požadavky na konstrukční zásady dle ČSN EN 1990, kap. 9 jsou splněny.

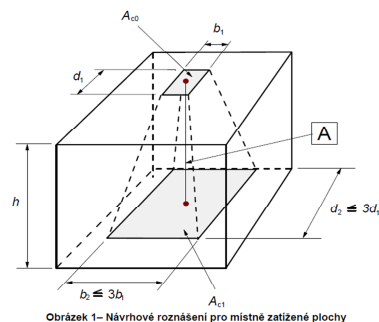
5.5 PODLOŽISKOVÁ OBLAST

5.5.1 POSOUZENÍ BETONU

- dle ČSN EN 1992-1-1, čl. 6.7

$$F_{Rdu} = A_{c0} \cdot f_{cd} \cdot \sqrt{A_{c1} / A_{c0}} \leq 3,0 \cdot f_{cd} \cdot A_{c0}$$

beton		C30/37	třída betonu
f_{ck}	MPa	30	charakteristická pevnost betonu v tlaku
γ_c		1.5	součinitel materiálu pro beton
α_{cc}	-	0.90	dílič součinitel bezpečnosti
f_{cd}	MPa	18.0	návrhová pevnost betonu v tlaku
\varnothing_{c0}	m	0.250	průměr zatížené plochy (odhadovaný průměr ložiska)
\varnothing_{c1}	m	0.750	průměr roznášecí plochy
A_{c0}	m ²	0.0491	zatížená plocha
A_{c1}	m ²	0.4418	roznášecí plocha
$\min(\sqrt{A_{c1}/A_{c0}}; 3)$		3.000	součinitel pevnosti betonu v sousř. tlaku
F_{Ed}	kN	2100	soustředěná síla od zatížení
F_{Rdu}	kN	2651	soustředěná síla na mezi únosnosti
$F_{Ed} \leq F_{Rdu}$		OK	posouzení
F_{Ed} / F_{Rdu}		0.792	využití průřezu



Obrázek 1 – Návrhové roznášení pro místně zatížené plochy

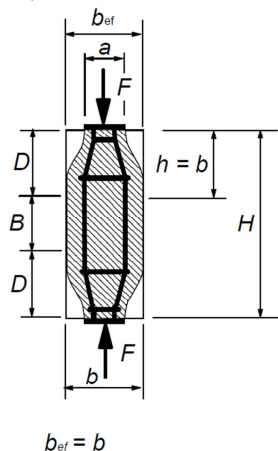
A) - osa zatížení
 $h \geq (b_2 - b_1)$ a $h \geq (d_2 - d_1)$

5.5.2 NÁVRH VÝZTUŽE V ROZNÁŠECÍ OBLASTI

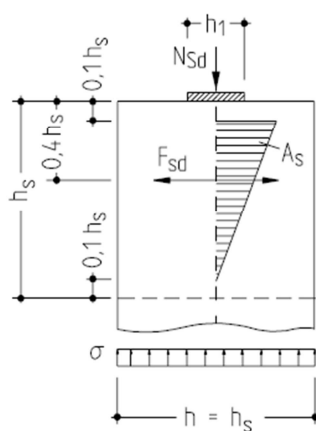
Postup podle ČSN EN 1992

- dle ČSN EN 1992-1-1, čl. 6.5.3

$$T = \frac{1}{4} \frac{b-a}{b} F$$



$$b_{ef} = b$$



$$F_{sd} = \frac{N_{sd}}{4} \cdot \left(1 - \frac{h_1}{h_s}\right)$$

$F_{sd,R}$: konstruktiv

F_{Ed}	kN	2100	1570	svislá síla
H_{Ed}	kN	830	800	vodorovná síla
výztuž		B500B	B500B	třída výztuže
f_{yk}	MPa	500	500	mez kluzu betonářské výztuže
γ_s	-	1.15	1.15	součinitel materiálu pro výztuž
f_{yd}	MPa	435	435	návrhová hodnota napětí v betonářské výztuži
a	m	0.250	0.250	zatížená délka (odhadovaný průměr ložiska)
b	m	1.870	1.870	roznášecí délka
T	kN	455	340	síla v příčné výztuži
$A_{s,T}$	mm ²	1046	782	plocha výztuže v roznášecí oblasti
$A_{s,H}$	mm ²	1909	1840	plocha výztuže pod ložiskem
A_s	mm ²	2955	2622	celková plocha výztuže v roznášecí oblasti

Postup podle původní ČSN 73 6206

Zatížení		Char
Svislá reakce max.	Rz (kN)	1550
Vodorovná reakce	Rx (kN)	600
zatížená šířka (odhad)	c (mm)	250
výška úložného prahu	v (mm)	800
šířka úložného prahu	b (mm)	1865
třída betonu		C 30/37
značka výztuže		10 505 R
dovolené ocel v tahu	Sa dov (MPa)	280.0
poměr c/b	c/b	0.134
koeficient příčných tahů	Bs	0.433
koeficient tření v ložisku	v	0.00
Nutná výzt. v horním pruhu	F _{an} ^h (mm ²)	2143
výška horního pruhu 0,2*v	h ^h (mm)	160
Nutná výzt. ve středním pruhu	F _{an} ^s (mm ²)	1438
výška středního pruhu 0,4*v	h ^s (mm)	320
Nutná výzt. v dolním pruhu	F _{an} ^d (mm ²)	959
výška dolního pruhu 0,4*v	h ^d (mm)	320

Navržená výztuže v roznášecí oblasti

• horní pruh	– 11xØ16 mm	$A_{st} = 11 \cdot 201 = 2211 \text{ mm}^2 \geq A_{st,min} = 2143 \text{ mm}^2$
• střední pruh	– 11xØ16 mm	$A_{st} = 11 \cdot 201 = 2211 \text{ mm}^2 \geq A_{st,min} = 1438 \text{ mm}^2$
• dolní pruh	– 11xØ16 mm	$A_{st} = 11 \cdot 201 = 2211 \text{ mm}^2 \geq A_{st,min} = 959 \text{ mm}^2$

5.6 STANOVENÍ ZATÍŽITELNOSTI

Výpočet zatížitelnosti z využití navržené výztuže pro jednotlivé posudky (zjednodušený postup na stranu bezpečnou):

- podélná výztuž úložného prahu $3500/3770 = \underline{0,928}$ $\Rightarrow Z_{LM71} = 1/0,928 \cdot 1,21 = \underline{\underline{1,303}}$
- výztuž v roznášecí oblasti pod ložisky $2143/2211 = \underline{0,969}$ $\Rightarrow Z_{LM71} = 1/0,969 \cdot 1,21 = \underline{\underline{1,248}}$

6 ZÁVĚRNÁ ZÍDKA

6.1 PŘEDPOKLADY PRO NÁVRH A POSOUZENÍ

Statické schéma závěrné zídky je konzola vetknutá do úložného prahu.

- výška závěrné zídky $h_{zz} = 0,800 \text{ m}$
- výška nadnásypu $h_{zem} = 0,940$

Závěrná zídka byla posouzena na namáhání ohybovým momentem a na namáhání smykem, vše podle ČSN EN 1992.

6.2 ZATÍŽENÍ

Závěrná zídka je zatížena stálým zemním tlakem a zvětšením zemního tlaku od zatížení kolejovou dopravou. Pro výpočet závěrné zídky byl uvažován zemní tlak v klidu.

Stálý zemní tlak

- uvažován stálý zemní tlak v klidu

$$\gamma = 20.0 \text{ kN/m}^3$$

$$\varphi_{ef} = 30.0^\circ$$

$$c_{ef} = 0.0 \text{ kPa}$$

$$\delta = 0.0^\circ$$

nesoudržná

Klidový

$$K = 0.50$$

$$b = 1.000 \text{ m}$$

$$h_1 = 0.940 \text{ m}$$

$$h_2 = 1.740 \text{ m}$$

$$\Delta h = 0.800 \text{ m}$$

$$\sigma_1 = 9.40 \text{ kN/m}^2$$

$$\sigma_2 = 17.40 \text{ kN/m}^2$$

$$f_1 = 9.40 \text{ kN/m}$$

$$f_2 = 17.40 \text{ kN/m}$$

$$F_h = 10.72 \text{ kN}$$

excentricita zatížení vzhledem k vetknutí (těžiště lichoběžníku):

$$e = 0,800/3 \cdot (17,40 + 2 \cdot 9,40) / (17,40 + 9,40) = 0,3602 \text{ m}$$

Zvětšení zemního tlaku od zatížení kolejovou dopravou

- uvažován klidový zemní tlak od LM71

$Q_{vk} =$	250	kN	- tíha nápravy
$n_Q =$	4		- počet náprav
$L_Q =$	6.400	m	- délka, na kterou se zatížení od náprav roznáší
$b_{roznos} =$	3.000	m	- roznášecí šířka
$\alpha =$	1.21		

rozpočet zatížení	celkem	roznos
	[kN/m]	[kN/m ²]
q_{LM71}	156.25	52.08
$\alpha \cdot q_{LM71}$	189.06	63.02

$K =$	0.500	
$b =$	1.000	m
$\sigma_x =$	31.51	kN/m ²
$f_k =$	31.51	kN/m

excentricita zatížení vzhledem k vetknutí (těžiště lichoběžníku):

$$e = 0,800/2 = 0,400 \text{ m}$$

6.3 VNITŘNÍ SÍLY

Stálý zemní tlak

- posouvající síla $V = 10,72 \text{ kN/m}$
- ohybový moment $M = 10,72 \cdot 0,3602 = 3,86 \text{ kNm/m}$

Zvětšení zemního tlaku od zatížení kolejovou dopravou

- posouvající síla $V = 0,800 \cdot 31,51 = 25,21 \text{ kN/m}$
- ohybový moment $M = 25,21 \cdot 0,400 = 10,08 \text{ kNm/m}$

Návrhová kombinace

- posouvající síla $V = 1,35 \cdot 10,72 + 1,5 \cdot 25,21 = \mathbf{52,29 \text{ kN/m}}$
- ohybový moment $M = 1,35 \cdot 3,86 + 1,5 \cdot 10,08 = \mathbf{20,33 \text{ kNm/m}}$

Charakteristická kombinace

- ohybový moment $M = 3,86 + 10,08 = \mathbf{13,94 \text{ kNm/m}}$

Kvazistálá kombinace

- ohybový moment $M = \mathbf{3,86 \text{ kNm/m}}$

6.4 PODÉLNÁ VÝZTUŽ ZÁVĚRNÝCH ZÍDEK**6.4.1 NAVRŽENÁ VÝZTUŽ**

Řez			závěrná zídka
Průřez	beton	[-]	C30/37
	b	[mm]	1000
	h	[mm]	400
	c	[mm]	65
	d ₁	[mm]	73
	d	[mm]	327
Výztuž	Ø	[mm]	16
	s	[mm]	200
	n	[ks]	5.000
	A _s	[mm ²]	1005

6.4.2 MEZNÍ STAV ÚNOSNOSTI - NÁVRHOVÁ KOMBINACE

Řez		závěrná zídka		Popis
Zatížení		MSÚ		
Zatížení				
N _{Ed}	kN	0	norm. síla	
M _{Ed}	kNm	20.34	oh. moment	
Geometrie				
b _w	mm	1000	šířka stojiny T-průřezu nebo šířka obdélníka	
h	mm	400	výška průřezu	
Materiály a součinitele				
beton		C30/37		
f _{ck}	MPa	30	charakteristická pevnost betonu v tlaku	
α _{cc}	-	0.90	dílič součinitel bezpečnosti	
f _{yk}	MPa	500	mez kluzu betonářské výztuže	
γ _c		1.5	součinitel materiálu pro beton	
γ _s		1.15	součinitel materiálu pro výztuž (platí i pro předpínací výztuž)	
f _{cd}	MPa	18.0	návrhová pevnost betonu v tlaku	
f _{yd}	MPa	435	návrhová hodnota meze kluzu v betonářské výztuži	
λ	-	0.8	součinitel účinné výšky	
η	-	1.00	součinitel účinné pevnosti	
β	-	1.00	0.9 pokud se šířka tlač. oblasti zužuje směrem k tlač. vláknu	
ε _{cu3}	-	3.50		
Předpínací a betonářská výztuž				
A _s	mm ²	1005	plocha betonářské výztuže A _s	
d _s	mm	327	vzdálenost betonářské výztuže k tlač. vláknu	
Ohybová únosnost				
x	mm	30	výška tlač. oblasti	
ε _s	‰	34.2		
kontrola ε _s		OK	kontrola přetvoření v betonářské výztuži	
M _{Rd}	kNm	138	návrhový moment únosnosti	
M _{Ed} ≤ M _{Rd}		OK	posouzení	
M _E /M _{Rd}		0.148	využití průřezu	

Tvar průřezu a navržená výztuž vyhoví při posouzení mezního stavu únosnosti při návrhové kombinaci.

6.4.3 MEZNÍ STAV POUŽITELNOSTI - OMEZENÍ NAPĚTÍ - CHARAKTERISTICKÁ KOMBINACE

Řez		závěrná zídka	Popis
Zatížení		Char	
Zatížení			
M _{Ed}	kNm	13.94	ohybový moment od zatížení
Geometrie			
b	mm	1000	šířka tlačené oblasti průřezu
h	mm	400	výška průřezu
W _h	m ³	0.0267	moment průřezu k horním vláknům
W _d	m ³	0.0267	moment průřezu k dolním vláknům
Materiály a součinitele			
Beton		C30/37	třída betonu
Výztuž		B500B	třída výztuže
f _{ck}	MPa	30.0	charakteristická pevnost betonu v tlaku
f _{ctm}	MPa	2.9	střední hodnota pevnosti betonu v tahu
f _{yk}	MPa	500.0	mez kluzu betonářské výztuže
E _{cm}	GPa	33.0	střední hodnota sečnového modulu pružnosti v 28 dnech
E _{c,eff}	GPa	13.3	hodnota sečnového modulu použita pro výpočet pracovního součinitele
E _s	GPa	200.0	modulu pružnosti betonářské výztuže
α _e	-	15.0	pracovní součinitel
Napětí v průřezu bez trhliny			
σ _h	MPa	-0.523	napětí v horních vláknech průřezu
σ _d	MPa	0.523	napětí v dolních vláknech průřezu
f _{ctm}	MPa	2.9	střední hodnota pevnosti betonu v tahu
max(σ _h ,σ _d) ≥ f _{ctm}		NE	vzniknou v průřezu trhliny?
Napětí v průřezu s trhlinou v tažené části			
d _{s,t}	mm	73	vzdálenost těžiště tažené betonářské výztuže k taženým vláknům
d _{s,t}	mm	327	vzdálenost těžiště tažené betonářské výztuže k tlačným vláknům
A _s	mm ²	1005	plocha tažené betonářské výztuže
d _{s,c}	mm	0	vzdálenost tlačné betonářské výztuže k tlačným vláknům
A _{s,c}	mm ²	0	plocha tlačné betonářské výztuže
x	mm	85.4	výška tlačené oblasti
I _i	mm	1.1E+09	moment setrvačnosti ideálního průřezu
σ _{c,c}	MPa	1.1	maximální tlakové napětí v betonu
σ _{s,t}	MPa	46	maximální tahové napětí v betonářské výztuži
σ _{s,c}	MPa	0	maximální tlakové napětí v betonářské výztuži
k ₁ f _{ck}	MPa	18	horní mez pro tlakové napětí v betonu
k ₃ f _{yk}	MPa	400	horní mez pro tahové napětí ve výztuži
σ _{c,c} ≤k ₁ f _{ck} ;σ _{s,t} ≤k ₃ f _{yk}		OK	posouzení
max σ/k*f		0.116	využití průřezu

Tvar průřezu a navržená výztuž vyhoví při posouzení mezního použitelnosti – omezení napětí při charakteristické kombinaci.

6.4.4 MEZNÍ STAV POUŽITELNOSTI - OMEZENÍ TRHLIN - KVAZISTÁLÁ KOMBINACE**Napětí v průřezu s trhlinou**

Řez		závěrná zídka	Popis
Zatížení		Kvaz	
Zatížení			
M _{Ed}	kNm	3.86	ohybový moment od zatížení
Geometrie			
b	mm	1000	šířka tlačené oblasti průřezu
h	mm	400	výška průřezu
W _h	m ³	0.0267	model průřezu k horním vláknům
W _d	m ³	0.0267	model průřezu k dolním vláknům
Materiály a součinitele			
Beton		C30/37	třída betonu
Výztuž		B500B	třída výztuže
f _{ck}	MPa	30.0	charakteristická pevnost betonu v tlaku
f _{ctm}	MPa	2.9	střední hodnota pevnosti betonu v tahu
f _{yk}	MPa	500.0	mez kluzu betonářské výztuže
E _{cm}	GPa	33.0	střední hodnota sečnového modulu pružnosti v 28 dnech
E _{c,eff}	GPa	13.3	hodnota sečnového modulu použitá pro výpočet pracovního součinitele
E _s	GPa	200.0	modulu pružnosti betonářské výztuže
α _e	-	15.0	pracovní součinitel
Napětí v průřezu bez trhliny			
σ _h	MPa	-0.145	napětí v horních vláknech průřezu
σ _d	MPa	0.145	napětí v dolních vláknech průřezu
f _{ctm}	MPa	2.9	střední hodnota pevnosti betonu v tahu
max(σ _h ,σ _d) ≥ f _{ctm}		NE	vzniknou v průřezu trhliny?
Napětí v průřezu s trhlinou v tažené části			
d _{s,t}	mm	73	vzdálenost těžiště tažené betonářské výztuže k taženým vláknům
d _{s,t}	mm	327	vzdálenost těžiště tažené betonářské výztuže k tlačným vláknům
A _s	mm ²	1005	plocha tažené betonářské výztuže
d _{s,c}	mm	0	vzdálenost tlačné betonářské výztuže k tlačným vláknům
A _{s,c}	mm ²	0	plocha tlačné betonářské výztuže
x	mm	85	výška tlačné oblasti
I _i	mm	1.1E+09	moment setrvačnosti ideálního průřezu
σ _{c,c}	MPa	0.3	maximální tlakové napětí v betonu
σ _{s,t}	MPa	12.9	maximální tahové napětí v betonářské výztuži
σ _{s,c}	MPa	0.0	maximální tlakové napětí v betonářské výztuži

Výpočet šířky trhlin

Řez		závěrná zídka	Popis
Kombinace		Kvaz	
Materiály			
třída betonu		C30/37	
E _{cm}	MPa	33000	sřední hodnota sečnového modulu pružnosti v 28 dnech
E _{c,eff}	MPa	13333	hodnota sečnového modulu použitá pro výpočet pracovního součinitele
f _{ctm} = f _{ct,eff}	MPa	2.90	pevnost betonu v tahu v okamžiku vzniku trhlin
třída výztuže		B500B	
E _s	MPa	200000	modul pružnosti výztuže
α _e	-	6.06	poměr modulů pružnosti výztuže a betonu
Betonářská výztuž			
Ø	mm	16	průměr betonářské výztuže
n _s	ks	5.000	počet prutů betonářské výztuže
d'	mm	65	krytí betonářské výztuže
d	mm	327	účinná výška betonářské výztuže
A _s	mm ²	1005	plocha betonářské výztuže
σ _s	MPa	13	napětí v betonářské výztuži
Předpínací výztuž			
A _{p`}	mm ²	0	plocha předpínací výztuže
Průřezové charakteristiky			
h	mm	400	výška průřezu
x	mm	85.4	výška tlačené oblasti
h-x	mm	315	výška tažené oblasti
h _{c,eff}	mm	105	účinná výška taženého betonu
b	mm	1000	průměrná šířka tažené oblasti
A _{c,eff}	mm ²	104878	plocha betonu obklopující taženou výztuž
Maximální vzdálenost trhlin			
k ₁	-	0.8	0.8 žebírková, 1.6 hladká
k ₂	-	0.5	0.5 prostý ohyb, 1.0 prostý tah
k ₃	-	1.798	doporučená hodnota z normy
k ₄	-	0.425	doporučená hodnota z normy
ρ _{p,eff}	-	0.010	účinný stupeň vyztužení tažené oblasti
s _{r,max}	mm	401	maximální vzdálenost trhlin
Šířka trhlin			
k _t	-	0.4	0.6 krátkodobá zatížení, 0.4 dlouhodobé zatížení
ε _{sm} -ε _{cm}	-	3.86E-05	
w _k	mm	0.015	šířka trhliny
w _{k,max}	mm	0.200	maximální šířka trhlin
w _k < w _{k,max}		ok	posouzení
w _k / w _{k,max}		0.077	využití

Tvar průřezu a navržená výztuž vyhoví při posouzení mezního použitelnosti – omezení trhlin při kvazistálé kombinaci.

6.5 POSOUZENÍ ZÁVĚRNÝCH ZÍDEK NA SMYK**6.5.1 POSOUZENÍ PRŮŘEZU BEZ SMYKOVÉ VÝZTUŽE**

Řez		závěrná zídka	Popis
Zatížení		MSÚ	
Zatížení			
V_{Ed}	kN	52.28	dimenzační posouvající síla
Geometrie			
b_w	m	1.000	šířka (smyk)
h	m	0.400	výška průřezu
d	m	0.327	účinná výška
Materiály a součinitele			
beton		C30/37	třída betonu
f_{ck}	MPa	30	charakteristická pevnost betonu v tlaku
γ_c	-	1.5	součinitel materiálu pro beton
α_{cc}	-	0.90	dílčí součinitel bezpečnosti
f_{cd}	MPa	18.0	návrhová pevnost betonu v tlaku
$v = 0,6 \cdot (1 - f_{ck}/250)$	-	0.528	součinitel pevnosti betonu při porušení smykem
Smyková únosnost průřezu			
$V_{Ed,V}$	kN	52	
$C_{Rd,c}$		0.12	$0.18/\gamma_c$
k		1.78	$1 + \sqrt{200/d} \leq 2$
A_{sl}	m ²	1.01E-03	plocha tahové podélné výztuže do vzdálenosti $l_{bd} + d$
ρ_l		0.003	$A_{sl}/(b_w \cdot d) \leq 0.02$
k_1		0.15	
σ_{cp}	MPa	0	$N_{Ed}/A_c < 0.2 \cdot f_{cd}$ (tlak kladně)
v_{min}		0.46	$0.035 \cdot k^{3/2} \cdot f_{ck}^{1/2}$
$V_{Rd,c,min}$	kN	149	$(v_{min} + k_1 \cdot \sigma_{cp}) \cdot b_w \cdot d$
$V_{Rd,c}$	kN	149	$(C_{Rd,c} \cdot k \cdot (100 \cdot \rho_l \cdot f_{ck})^{1/3} + k_1 \cdot \sigma_{cp}) \cdot b_w \cdot d$
$0,5b_w d v f_{cd}$	kN	1554	
$V_{Ed} \leq \min(V_{Rd,c}; 0,5b_w d v f_{cd})$		OK	posouzení smykové únosnosti průřezu
$V_{Ed}/\min(V_{Rd,c}; 0,5b_w d v f_{cd})$		0.351	využití průřezu

Průřezy bez smykové výztuže vyhoví při posouzení na smyk – není třeba navrhovat smykovou výztuž.

6.6 POSOUZENÍ KONSTRUKČNÍCH ZÁSAD

Řez		závěrná zídka	Popis
Průřez			
b_t	mm	1000	průměrná šířka tahové oblasti průřezu
h	mm	400	výška průřezu
Materiály a součinitele			
beton		C30/37	třída betonu
f_{ck}	MPa	30	charakteristická pevnost betonu v tlaku
f_{ctm}	MPa	2.9	průměrná hodnota pevnosti betonu v tahu
f_{yk}	MPa	500	mez kluzu betonářské výztuže
Nosná výztuž			
$\varnothing_{s,t}$	mm	16	průměr prutů tahové betonářské výztuže
$n_{s,t}$	ks	5.000	počet prutů tahové betonářské výztuže
$A_{s,t}$	mm ²	1005	plocha tahové betonářské výztuže
d_1	mm	73	vzdálenost těžiště tahové betonářské výztuže k taženým vláknům
d	mm	327	vzdálenost těžiště tahové betonářské výztuže k tlaceným vláknům
$\varnothing_{s,c}$	mm	16	průměr prutů tlakové betonářské výztuže
$n_{s,c}$	ks	5.000	počet prutů tlakové betonářské výztuže
$A_{s,c}$	mm ²	1005	plocha tlakové betonářské výztuže
d_2	mm	73	vzdálenost těžiště tlakové betonářské výztuže k tlaceným vláknům
Minimální a maximální plocha nosné výztuže dle ČSN EN 1992-1-1, čl. 9.2.1.1			
$A_{s,t}$	mm ²	1005	plocha tahové výztuže
$A_{s,t,min}$	mm ²	493	minimální plocha tahové výztuže
$A_{s,c+t,max}$	mm ²	2011	plocha tahové i tlakové výztuže
$A_{s,c+t,max}$	mm ²	16000	maximální plocha tahové i tlakové výztuže
$A_{s,min} \leq A_s \leq A_{s,max}$		OK	posouzení

Požadavky na konstrukční zásady dle ČSN EN 1990, kap. 9 jsou splněny.

6.7 STANOVENÍ ZATÍŽITELNOSTI

6.7.1 OHYB – MEZNÍ STAV ÚNOSNOSTI

- $M_{Rd} = 137,62 \text{ kNm}$
- $M_{Ed} = 20,33 \text{ kNm}$
- $M_{\alpha LM71,Ed} = 1,5 \cdot 10,08 = 15,12 \text{ kNm}$
- $\alpha = 1,21$
- $M_{LM71,Ed} = 15,12 / 1,21 = 12,50 \text{ kNm}$
- $\Sigma M_{rs,Ed,i} = 1,35 \cdot 3,86 = 5,21 \text{ kNm}$
- $Z_{LM71} = (137,62 - 5,21) / 12,50 = \underline{\underline{10,593}}$

6.7.2 OHYB – MEZNÍ STAV POUŽITELNOSTI – OMEZENÍ NAPĚTÍ

- $M_{Rd} = 13,94 / 0,11616 = 120,01 \text{ kNm}$
- $M_{Ed} = 13,94 \text{ kNm}$
- $M_{\alpha LM71,Ed} = 10,08 \text{ kNm}$
- $\alpha = 1,21$
- $M_{LM71,Ed} = 10,08 / 1,21 = 8,33 \text{ kNm}$
- $\Sigma M_{rs,Ed,i} = 3,86 \text{ kNm}$
- $Z_{LM71} = (120,01 - 3,86) / 8,33 = \underline{\underline{13,944}}$

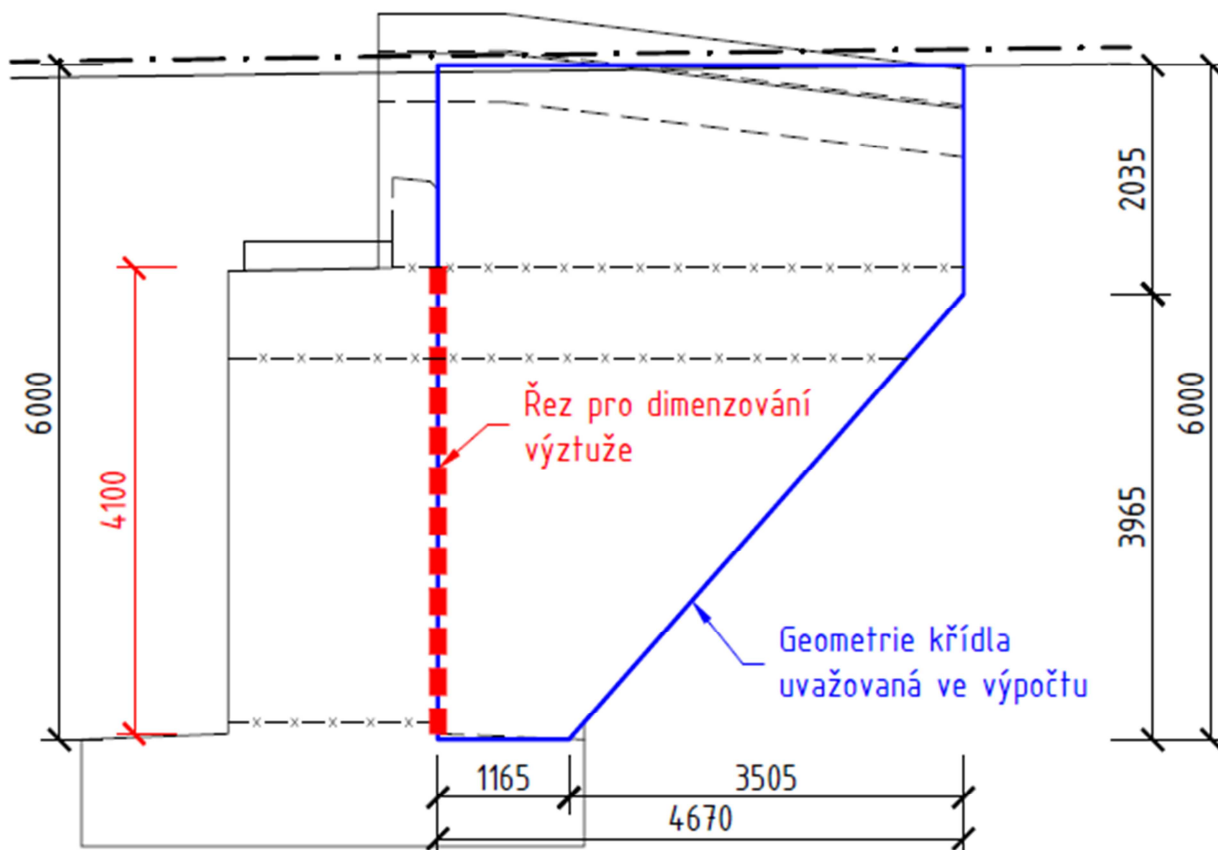
6.7.3 SMYK

- $V_{Rd} = 149,13 \text{ kN}$
- $V_{Ed} = 52,29 \text{ kN}$
- $V_{\alpha LM71,Ed} = 1,5 \cdot 25,21 = 37,815 \text{ kN}$
- $\alpha = 1,21$
- $V_{LM71,Ed} = 37,815 / 1,21 = 31,252 \text{ kN}$
- $\Sigma V_{rs,Ed,i} = 1,35 \cdot 10,72 = 14,472 \text{ kN}$
- $Z_{LM71} = (149,13 - 14,472) / 31,252 = \underline{\underline{4,309}}$

7 ZAVĚŠENÁ KŘÍDLA

7.1 PŘEDPOKLADY PRO NÁVRH A POSOUZENÍ

Statické schéma zavěšených křídel je konzola vetknutá do dřívku opěry.



obr. 2 Geometrie zavěšených křídel uvažovaná ve výpočtu

Zavěšená křídla byla posouzena na namáhání ohybovým momentem a na namáhání smykem, vše podle ČSN EN 1992.

7.2 ZATÍŽENÍ

Zavěšená křídla jsou zatížena stálým zemním tlakem a zvětšením zemního tlaku od zatížení kolejovou dopravou. Pro výpočet zavěšených křídel byl uvažován aktivní zemní tlak.

Stálý zemní tlak

- uvažován stálý zemní tlak aktivní

$\gamma = 20.0 \text{ kN/m}^3$

$\varphi_{ef} = 30.0^\circ$

$c_{ef} = 0.0 \text{ kPa}$

$\delta = 0.0^\circ$

nesoudržná

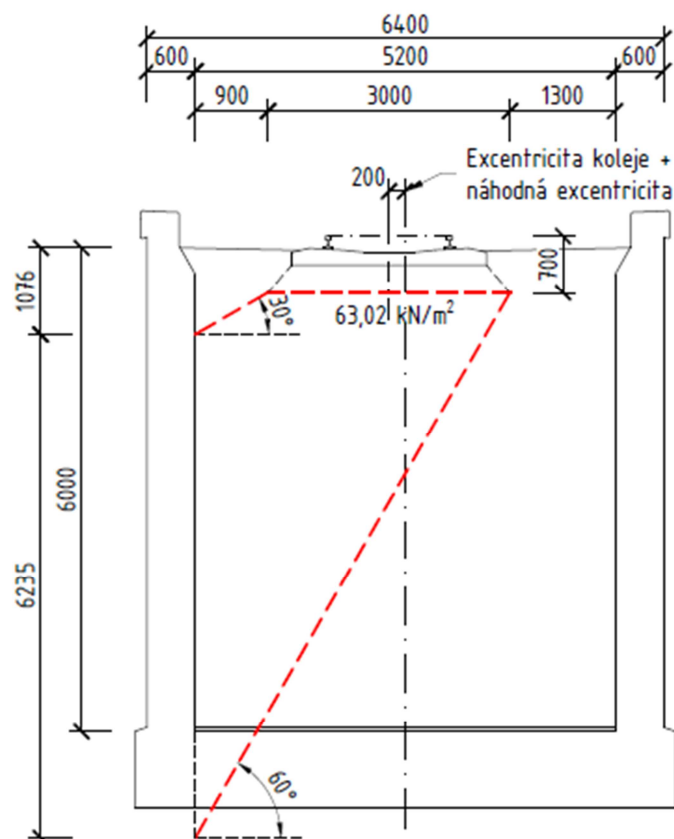
$K =$	0.333	
$b =$	1.000	m
$h_1 =$	0.00	m
$h_2 =$	6.00	m
$\Delta h =$	6.00	m
$\sigma_1 =$	0.00	kN/m ²
$\sigma_2 =$	40.00	kN/m ²
$f_1 =$	0.00	kN/m
$f_2 =$	40.00	kN/m

Zvětšení zemního tlaku od zatížení kolejovou dopravou

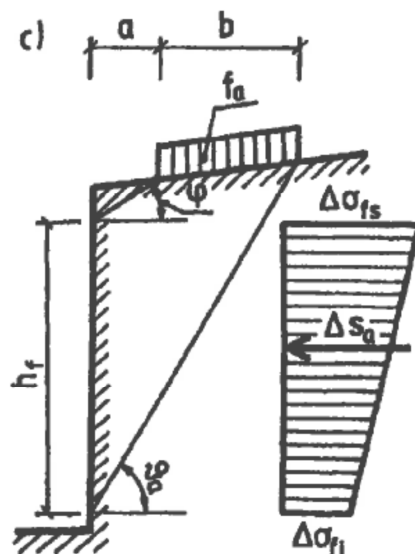
- uvažován aktivní zemní tlak od LM71

$Q_{vk} =$	250	kN	- tíha nápravy
$n_Q =$	4		- počet náprav
$L_Q =$	6.400	m	- délka, na kterou se zatížení od náprav roznáší
$b_{roznos} =$	3.000	m	- roznášecí šířka
$\alpha =$	1.21		

rozpočet zatížení	celkem	roznos
	[kN/m]	[kN/m ²]
q_{LM71}	156.25	52.08
$\alpha \cdot q_{LM71}$	189.06	63.02



obr. 3 Zvětšení zemního tlaku od zatížení kolejovou dopravou - geometrie



obr. 4 Zvětšení zemního tlaku od zatížení kolejovou dopravou – obecný postup

$$\varphi = 30^\circ$$

$$v_a = 45 + 30/2 = 60^\circ$$

$$K_{af} = \tan(45 - 30/2) = 0,5774$$

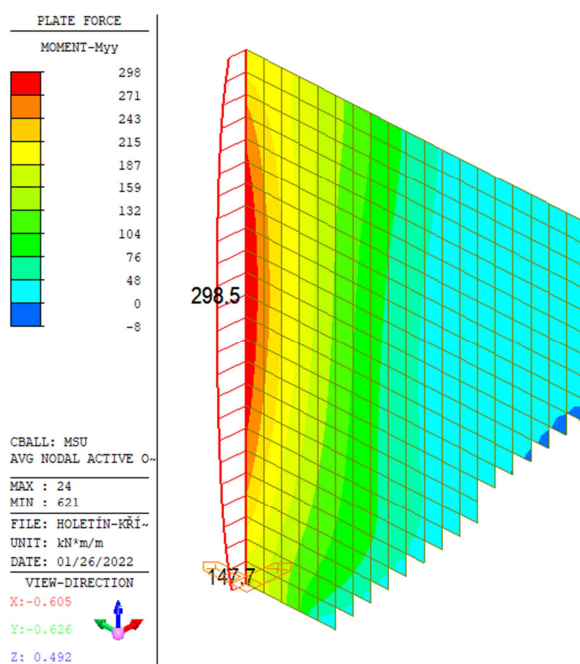
$$\Delta S_a = 63,02 \cdot 3 \cdot 0,5774 = 109,163 \text{ kN/m}$$

$$\Delta \sigma_{fs} = 109,163 / 6,235 \cdot (1 + 0,90 / (0,90 + 3)) = 21,55 \text{ kN/m}^2$$

$$\Delta \sigma_{fi} = 109,163 / 6,235 \cdot (1 - 0,90 / (0,90 + 3)) = 13,47 \text{ kN/m}^2$$

7.3 VNITŘNÍ SÍLY

Vnitřní síly byly spočítány na konzole proužkovou metodou a ověřeny jednoduchým deskovým výpočtovým modelem vytvořeným v programu MIDAS/Civil. Výsledky jsou uvedeny níže.



obr. 5 Ohybové momenty z výpočtového modelu ve vetknutí křídla v MSÚ

Stálý zemní tlak

- posouvající síla $V = 344,4 \text{ kN}$
- ohybový moment $M = 572,0 \text{ kNm}$

Zvětšení zemního tlaku od zatížení kolejovou dopravou

- posouvající síla $V = 306,7 \text{ kN}$
- ohybový moment $M = 579,7 \text{ kNm}$

Návrhová kombinace

- posouvající síla

6.10a	$V = 1,35 \cdot 344,4 + 1,5 \cdot 0,8 \cdot 306,7 = 833,0 \text{ kN}$
6.10b	$V = 0,85 \cdot 1,35 \cdot 344,4 + 1,5 \cdot 306,7 = 855,2 \text{ kN}$
max	$V = 855,2 \text{ kN}$
	$V_{1m} = 855,2/4,1 = 208,6 \text{ kN/m}$
- ohybový moment

6.10a	$M = 1,35 \cdot 572,0 + 1,5 \cdot 0,8 \cdot 579,7 = 1467,8 \text{ kNm}$
6.10b	$M = 0,85 \cdot 1,35 \cdot 572,0 + 1,5 \cdot 579,7 = 1525,9 \text{ kNm}$
max	$M = 1525,9 \text{ kNm}$
	$M_{1m} = 1525,9/4,1 = 372,2 \text{ kNm/m}$

Charakteristická kombinace

- ohybový moment $M = 572,0 + 579,7 = 1151,7 \text{ kNm}$
 $M_{1m} = 1151,7/4,1 = 280,9 \text{ kNm/m}$

Kvazistálá kombinace

- ohybový moment $M = 572,0 \text{ kNm}$
 $M_{1m} = 572,0/4,1 = 139,5 \text{ kNm/m}$

7.4 PODÉLNÁ VÝZTUŽ ZAVĚŠENÝCH KŘÍDEL

7.4.1 NAVRŽENÁ VÝZTUŽ

Řez			křídla
Průřez	beton	[-]	C30/37
	b	[mm]	1000
	h	[mm]	600
	c	[mm]	85
	d ₁	[mm]	95
	d	[mm]	505
Výztuž	Ø	[mm]	20
	s	[mm]	150
	n	[ks]	6.667
	A _s	[mm ²]	2094

7.4.2 MEZNÍ STAV ÚNOSNOSTI - NÁVRHOVÁ KOMBINACE

Řez		křídla	Popis
Zatížení		MSÚ	
Zatížení			
N _{Ed}	kN	0	norm. síla
M _{Ed}	kNm	372.2	oh. moment
Geometrie			
b _w	mm	1000	šířka stojiny T-průřezu nebo šířka obdélníka
h	mm	600	výška průřezu
Materiály a součinitele			
beton		C30/37	
f _{ck}	MPa	30	charakteristická pevnost betonu v tlaku
α _{cc}	-	0.90	dílčí součinitel bezpečnosti
f _{yk}	MPa	500	mez kluzu betonářské výztuže
γ _c		1.5	součinitel materiálu pro beton
γ _s		1.15	součinitel materiálu pro výztuž (platí i pro předpínací výztuž)
f _{cd}	MPa	18.0	návrhová pevnost betonu v tlaku
f _{yd}	MPa	435	návrhová hodnota meze kluzu v betonářské výztuži
λ	-	0.8	součinitel účinné výšky
η	-	1.00	součinitel účinné pevnosti
β	-	1.00	0.9 pokud se šířka tlač. oblasti zužuje směrem k tlačným vláknům
ε _{cu3}	-	3.50	
Předpínací a betonářská výztuž			
A _s	mm ²	2094	plocha betonářské výztuže A _s
d _s	mm	505	vzdálenost betonářské výztuže k tlačným vláknům
Ohybová únosnost			
x	mm	63	výška tlačené oblasti
ε _s	‰	24.5	
kontrola ε _s		OK	kontrola přetvoření v betonářské výztuži
M _{Rd}	kNm	437	návrhový moment únosnosti
M _{Ed} ≤M _{Rd}		OK	posouzení
M _E /M _{Rd}		0.852	využití průřezu

Tvar průřezu a navržená výztuž vyhoví při posouzení mezního stavu únosnosti při návrhové kombinaci.

7.4.3 MEZNÍ STAV POUŽITELNOSTI - OMEZENÍ NAPĚTÍ - CHARAKTERISTICKÁ KOMBINACE

Řez		křídla	Popis
Zatížení		Char	
Zatížení			
M _{Ed}	kNm	280.9	ohybový moment od zatížení
Geometrie			
b	mm	1000	šířka tlačené oblasti průřezu
h	mm	600	výška průřezu
W _h	m ³	0.0600	moment průřezu k horním vláknům
W _d	m ³	0.0600	moment průřezu k dolním vláknům
Materiály a součinitele			
Beton		C30/37	třída betonu
Výztuž		B500B	třída výztuže
f _{ck}	MPa	30.0	charakteristická pevnost betonu v tlaku
f _{ctm}	MPa	2.9	střední hodnota pevnosti betonu v tahu
f _{yk}	MPa	500.0	mez kluzu betonářské výztuže
E _{cm}	GPa	33.0	střední hodnota sečnového modulu pružnosti v 28 dnech
E _{c,eff}	GPa	13.3	hodnota sečnového modulu použita pro výpočet pracovního součinitele
E _s	GPa	200.0	modulu pružnosti betonářské výztuže
α _e	-	15.0	pracovní součinitel
Napětí v průřezu bez trhliny			
σ _h	MPa	-4.682	napětí v horních vláknech průřezu
σ _d	MPa	4.682	napětí v dolních vláknech průřezu
f _{ctm}	MPa	2.9	střední hodnota pevnosti betonu v tahu
max(σ _h ,σ _d) ≥ f _{ctm}		ANO	vzniknou v průřezu trhliny?
Napětí v průřezu s trhlinou v tažené části			
d _{s,t}	mm	95	vzdálenost těžiště tažené betonářské výztuže k taženým vláknům
d _{s,t}	mm	505	vzdálenost těžiště tažené betonářské výztuže k tlačným vláknům
A _s	mm ²	2094	plocha tažené betonářské výztuže
d _{s,c}	mm	0	vzdálenost tlačené betonářské výztuže k tlačným vláknům
A _{s,c}	mm ²	0	plocha tlačené betonářské výztuže
x	mm	149.5	výška tlačené oblasti
I _i	mm	5.1E+09	moment setrvačnosti ideálního průřezu
σ _{c,c}	MPa	8.3	maximální tlakové napětí v betonu
σ _{s,t}	MPa	295	maximální tahové napětí v betonářské výztuži
σ _{s,c}	MPa	0	maximální tlakové napětí v betonářské výztuži
k ₁ f _{ck}	MPa	18	horní mez pro tlakové napětí v betonu
k ₃ f _{yk}	MPa	400	horní mez pro tahové napětí ve výztuži
σ _{c,c} ≤ k ₁ f _{ck} ; σ _{s,t} ≤ k ₃ f _{yk}		OK	posouzení
max σ/k*f		0.737	využití průřezu

Tvar průřezu a navržená výztuž vyhoví při posouzení mezního použitelnosti – omezení napětí při charakteristické kombinaci.

7.4.4 MEZNÍ STAV POUŽITELNOSTI - OMEZENÍ TRHLIN - KVAZISTÁLÁ KOMBINACE**Napětí v průřezu s trhlinou**

Řez		křídla	Popis
Zatížení		Kvaz	
Zatížení			
M _{Ed}	kNm	139.5	ohybový moment od zatížení
Geometrie			
b	mm	1000	šířka tlačené oblasti průřezu
h	mm	600	výška průřezu
W _h	m ³	0.0600	moment průřezu k horním vláknům
W _d	m ³	0.0600	moment průřezu k dolním vláknům
Materiály a součinitele			
Beton		C30/37	třída betonu
Výztuž		B500B	třída výztuže
f _{ck}	MPa	30.0	charakteristická pevnost betonu v tlaku
f _{ctm}	MPa	2.9	střední hodnota pevnosti betonu v tahu
f _{yk}	MPa	500.0	mez kluzu betonářské výztuže
E _{cm}	GPa	33.0	střední hodnota sečnového modulu pružnosti v 28 dnech
E _{c,eff}	GPa	13.3	hodnota sečnového modulu použitá pro výpočet pracovního součinitele
E _s	GPa	200.0	modul pružnosti betonářské výztuže
α _e	-	15.0	pracovní součinitel
Napětí v průřezu bez trhliny			
σ _h	MPa	-2.325	napětí v horních vláknech průřezu
σ _d	MPa	2.325	napětí v dolních vláknech průřezu
f _{ctm}	MPa	2.9	střední hodnota pevnosti betonu v tahu
max(σ _h ,σ _d) ≥ f _{ctm}		NE	vzniknou v průřezu trhliny?
Napětí v průřezu s trhlinou v tažené části			
d _{s,t}	mm	95	vzdálenost těžiště tažené betonářské výztuže k taženým vláknům
d _{s,t}	mm	505	vzdálenost těžiště tažené betonářské výztuže k tlačným vláknům
A _s	mm ²	2094	plocha tažené betonářské výztuže
d _{s,c}	mm	0	vzdálenost tlačné betonářské výztuže k tlačným vláknům
A _{s,c}	mm ²	0	plocha tlačné betonářské výztuže
x	mm	149	výška tlačné oblasti
I _i	mm	5.1E+09	moment setrvačnosti ideálního průřezu
σ _{c,c}	MPa	4.1	maximální tlakové napětí v betonu
σ _{s,t}	MPa	146.3	maximální tahové napětí v betonářské výztuži
σ _{s,c}	MPa	0.0	maximální tlakové napětí v betonářské výztuži

Výpočet šířky trhlin

Řez	křídla		Popis
Kombinace	Kvaz		
Materiály			
třída betonu		C30/37	
E _{cm}	MPa	33000	sřední hodnota sečnového modulu pružnosti v 28 dnech
E _{c,eff}	MPa	13333	hodnota sečnového modulu použitá pro výpočet pracovního součinitele
f _{ctm} = f _{ct,eff}	MPa	2.90	pevnost betonu v tahu v okamžiku vzniku trhlin
třída výztuže		B500B	
E _s	MPa	200000	modul pružnosti výztuže
α _e	-	6.06	poměr modulů pružnosti výztuže a betonu
Betonářská výztuž			
Ø	mm	20	průměr betonářské výztuže
n _s	ks	6.667	počet prutů betonářské výztuže
d'	mm	85	krytí betonářské výztuže
d	mm	505	účinná výška betonářské výztuže
A _s	mm ²	2094	plocha betonářské výztuže
σ _s	MPa	146	napětí v betonářské výztuži
Předpínací výztuž			
A _{p`}	mm ²	0	plocha předpínací výztuže
Průřezové charakteristiky			
h	mm	600	výška průřezu
x	mm	149.5	výška tlačené oblasti
h-x	mm	451	výška tažené oblasti
h _{c,eff}	mm	150	účinná výška taženého betonu
b	mm	1000	průměrná šířka tažené oblasti
A _{c,eff}	mm ²	150179	plocha betonu obklopující taženou výztuž
Maximální vzdálenost trhlin			
k ₁	-	0.8	0.8 žebírková, 1.6 hladká
k ₂	-	0.5	0.5 prostý ohyb, 1.0 prostý tah
k ₃	-	1.504	doporučená hodnota z normy
k ₄	-	0.425	doporučená hodnota z normy
ρ _{p,eff}	-	0.014	účinný stupeň vyztužení tažené oblasti
s _{r,max}	mm	372	maximální vzdálenost trhlin
Šířka trhlin			
k _t	-	0.4	0.6 krátkodobá zatížení, 0.4 dlouhodobé zatížení
ε _{sm} ·ε _{cm}	-	4.39E-04	
w _k	mm	0.163	šířka trhliny
w _{k,max}	mm	0.200	maximální šířka trhlin
w _k < w _{k,max}		ok	posouzení
w _k / w _{k,max}		0.816	využití

Tvar průřezu a navržená výztuž vyhoví při posouzení mezního použitelnosti – omezení trhlin při kvazistálé kombinaci.

7.5 POSOUZENÍ ZAVĚŠENÝCH KŘÍDEL NA SMYK**7.5.1 POSOUZENÍ PRŮŘEZU BEZ SMYKOVÉ VÝZTUŽE**

Řez		křídla	Popis
Zatížení		MSÚ	
Zatížení			
V _{Ed}	kN	208.6	dimenzační posouvající síla
Geometrie			
b _w	m	1.000	šířka (smyk)
h	m	0.600	výška průřezu
d	m	0.505	účinná výška
Materiály a součinitele			
beton		C30/37	třída betonu
f _{ck}	MPa	30	charakteristická pevnost betonu v tlaku
γ _c	-	1.5	součinitel materiálu pro beton
α _{cc}	-	0.90	dílčí součinitel bezpečnosti
f _{cd}	MPa	18.0	návrhová pevnost betonu v tlaku
v = 0,6*(1-f _{ck} /250)	-	0.528	součinitel pevnosti betonu při porušení smykem
Smyková únosnost průřezu			
V _{Ed,V}	kN	209	
C _{Rd,c}		0.12	0.18/γ _c
k		1.63	1+√(200/d) ≤ 2
A _{sl}	m ²	2.09E-03	plocha tahové podélné výztuže do vzdálenosti l _{bd} + d
ρ _l		0.004	A _{sl} /(b _w *d) ≤ 0.02
k ₁		0.15	
σ _{cp}	MPa	0	N _{Ed} /A _c < 0.2*f _{cd} (tlak kladně)
v _{min}		0.40	0.035*k ^{3/2} *f _{ck} ^{1/2}
V _{Rd,c,min}	kN	201	(v _{min} + k ₁ *σ _{cp})*b _w *d
V _{Rd,c}	kN	229	(C _{Rd,c} *k*(100*ρ _l *f _{ck}) ^{1/3} + k ₁ *σ _{cp})*b _w *d
0,5b _w dv _{fcd}	kN	2400	
V _{Ed} ≤min(V _{Rd,c} ;0,5b _w dv _{fcd})		OK	posouzení smykové únosnosti průřezu
V _{Ed} /min(V _{Rd,c} ;0,5b _w dv _{fcd})		0.912	využití průřezu

Průřezy bez smykové výztuže vyhoví při posouzení na smyk – není třeba navrhovat smykovou výztuž.

7.6 POSOUZENÍ KONSTRUKČNÍCH ZÁSAD

Řez		křídla	Popis
Průřez			
b_t	mm	1000	průměrná šířka tahové oblasti průřezu
h	mm	600	výška průřezu
Materiály a součinitele			
beton		C30/37	třída betonu
f_{ck}	MPa	30	charakteristická pevnost betonu v tlaku
f_{ctm}	MPa	2.9	průměrná hodnota pevnosti betonu v tahu
f_{yk}	MPa	500	mez kluzu betonářské výztuže
Nosná výztuž			
$\varnothing_{s,t}$	mm	20	průměr prutů tahové betonářské výztuže
$n_{s,t}$	ks	6.667	počet prutů tahové betonářské výztuže
$A_{s,t}$	mm ²	2094	plocha tahové betonářské výztuže
d_1	mm	95	vzdálenost těžiště tahové betonářské výztuže k taženým vláknům
d	mm	505	vzdálenost těžiště tahové betonářské výztuže k tlaceným vláknům
$\varnothing_{s,c}$	mm	16	průměr prutů tlakové betonářské výztuže
$n_{s,c}$	ks	6.667	počet prutů tlakové betonářské výztuže
$A_{s,c}$	mm ²	1340	plocha tlakové betonářské výztuže
d_2	mm	95	vzdálenost těžiště tlakové betonářské výztuže k tlaceným vláknům
Minimální a maximální plocha nosné výztuže dle ČSN EN 1992-1-1, čl. 9.2.1.1			
$A_{s,t}$	mm ²	2094	plocha tahové výztuže
$A_{s,t,min}$	mm ²	762	minimální plocha tahové výztuže
$A_{s,c+t,max}$	mm ²	3435	plocha tahové i tlakové výztuže
$A_{s,c+t,max}$	mm ²	24000	maximální plocha tahové i tlakové výztuže
$A_{s,min} \leq A_s \leq A_{s,max}$		OK	posouzení

Požadavky na konstrukční zásady dle ČSN EN 1990, kap. 9 jsou splněny.

7.7 STANOVENÍ ZATÍŽITELNOSTI

7.7.1 OHYB – MEZNÍ STAV ÚNOSNOSTI

- $M_{Rd} = 436,82 \text{ kNm}$
- $M_{Ed} = 372,2 \text{ kNm}$
- $M_{\alpha LM71,Ed} = 1,5 \cdot 579,7/4,1 = 212,09 \text{ kNm}$
- $\alpha = 1,21$
- $M_{LM71,Ed} = 212,09/1,21 = 175,28 \text{ kNm}$
- $\Sigma M_{rs,Ed,i} = 0,85 \cdot 1,35 \cdot 572,0/4,1 = 160,09 \text{ kNm}$
- $Z_{LM71} = (436,82 - 160,09)/175,28 = \underline{\underline{1,579}}$

7.7.2 OHYB – MEZNÍ STAV POUŽITELNOSTI – OMEZENÍ NAPĚTÍ

- $M_{Rd} = 280,9/0,73663 = 381,33 \text{ kNm}$
- $M_{Ed} = 280,9 \text{ kNm}$
- $M_{\alpha LM71,Ed} = 579,7/4,1 = 141,39 \text{ kNm}$
- $\alpha = 1,21$
- $M_{LM71,Ed} = 141,39/1,21 = 116,85 \text{ kNm}$
- $\Sigma M_{rs,Ed,i} = 572,0/4,1 = 139,51 \text{ kNm}$
- $Z_{LM71} = (381,33 - 139,51)/116,85 = \underline{\underline{2,069}}$

7.7.3 SMYK

- $V_{Rd} = 228,79 \text{ kN}$
- $V_{Ed} = 208,6 \text{ kN}$
- $V_{\alpha LM71,Ed} = 1,5 \cdot 306,7/4,1 = 112,207 \text{ kN}$
- $\alpha = 1,21$
- $V_{LM71,Ed} = 112,207/1,21 = 92,733 \text{ kN}$
- $\Sigma V_{rs,Ed,i} = 0,85 \cdot 1,35 \cdot 344,4/4,1 = 96,39 \text{ kN}$
- $Z_{LM71} = (228,79 - 96,39)/92,733 = \underline{\underline{1,428}}$

8 PŘEHLED NAVRŽENÉ VÝZTUŽE

Základ opěry

- dolní podélná výztuž – Ø32/200 mm ($A_s = 4020 \text{ mm}^2/\text{m}$)
- horní podélná výztuž – Ø20/200 mm ($A_s = 1570 \text{ mm}^2/\text{m}$)
- smyková výztuž – min. $934 \text{ mm}^2/\text{m}^2$

Dřík opěry

- podélná výztuž – Ø28/200 mm ($A_s = 3079 \text{ mm}^2/\text{m}$)
- smyková výztuž – min. $369 \text{ mm}^2/\text{m}^2$

Úložný práh

- podélná výztuž – 12xØ20 ($A_s = 3770 \text{ mm}^2$)
- příčná výztuž pod ložiskem:
 - horní pruh – 11xØ16 mm ($A_s = 2211 \text{ mm}^2$)
 - střední pruh – 11xØ16 mm ($A_s = 2211 \text{ mm}^2$)
 - dolní pruh – 11xØ16 mm ($A_s = 2211 \text{ mm}^2$)

Závěrná zídka

- podélná výztuž – Ø16/200 mm ($A_s = 1005 \text{ mm}^2/\text{m}$)
- bez smykové výztuže

Zavěšená křídla

- podélná výztuž – Ø20/150 mm ($A_s = 2094 \text{ mm}^2/\text{m}$)
- bez smykové výztuže

9 ZÁVĚR

Statickým výpočtem byly navrženy a ověřeny železobetonové průřezy krajních opěr mostu a stanovená jejich zatížitelnost.

Na základě výsledků statického výpočtu konstatujeme, že navržená železobetonová konstrukce spodní stavby mostu vyhovuje všem platným citovaným normám a předpisům.

V Olomouci, únor 2022

Zpracoval: Ing. Petr Šedivý

10 TABULKA ZATÍŽITELNOSTI

10.1 IDENTIFIKACE MOSTU:

TÚ (číslo, název): TÚ 1611 Havlíčkův Brod (mimo)(viaZETOR H.B) – Pardubice – Rosice nad Labem - jižní zh

DÚ: 10 Hlinsko v Čechách – Žďárec u Skutče

km: evidenční km 42,794

10.2 IDENTIFIKACE ČÁSTI MOSTU

Část mostu: opěra O01 a O02, pod koleji č. 1

10.3 DOPLŇUJÍCÍ ÚDAJE ČÁSTI MOSTU:

Kategorie zatížitelnosti: C

Výpočetní model: zjednodušené prutové modely jednotlivých částí opěr

Geometrie koleje: trat' v přímé

Popis závad uvažovaných v přepočtu
zatížitelnost vychází z projektovaného stavu a nezohledňuje
proto žádné závady

Datum zjištění technického stavu mostu: zpracovatelem přepočtu:

10.4 PŘEHLED ZATÍŽITELNOSTI

Poř. číslo	Prvek	Detail	Namáhání	k _i	typ	L _p	Φ _i	L _Φ	Y _{Q,LM71}	Y _{Q,LM71,E}	Viz číslo strany přepočtu	Z _{LM71}	Z _{LM71,E}	Poznámky
1	2	3	4	5	6	7	8	9	10	11	12	13	14	15
1	základ opěry	MSÚ	ohyb	1	S	-	1,0	-	1,45		42	1,280		
2	pata dříku	MSÚ	ohyb	1	S	-	1,0	-	1,45		43	1,277		
3	úložný práh	MSÚ	účinky od reakcí z ložisek	1	S	-	1,0	-	1,45		48	1,248		
4	závěrná zídka	MSÚ	smyk	1	S	-	1,0	-	1,45		57	> 2		
5	zavěšená křídla	MSÚ	smyk	1	S	-	1,0	-	1,45		68	1,428		

